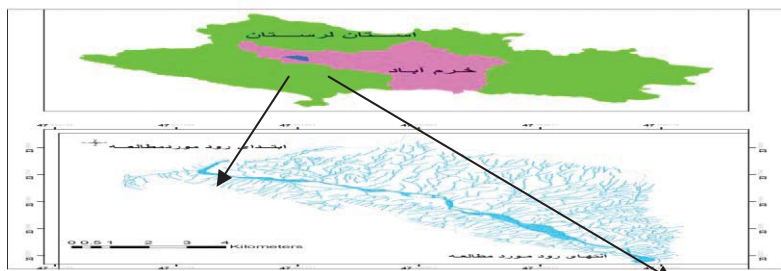


شیوه های پایش تغییرات رود بر اثر برداشت منابع رودخانه ای (نمونه موردی رودخانه کشکان)

سیاوش شایان^۱، هدیه دهستانی^۲^۱ استادیار گروه جغرافیا، دانشگاه تربیت مدرس shayan@modares.ac.ir^۲ دانشجوی دکتری رئومورفولوژی دانشگاه تربیت مدرس h.dehestani64@yahoo.com

مقدمه و منطقه مورد مطالعه

در پی رشد فیزیکی استفاده از انواع مصالح ساختمانی (بويژه شن و ماسه) که در تولید بتن جهت فعالیتهای عمرانی و صنعتی کاربرد فراوانی دارند افزایش قابل توجهی داشته است (شرکت آب منطقه ای لرستان، ۱۳۸۹). برداشت شن و ماسه از نظر فعالیتهای اقتصادی نقش مناسبی داشته اما تاثیر انجام این کار نه تنها در محل برداشت بلکه در بالادست و پایین دست محل برداشت بر رئومورفولوژی رودخانه تاثیر می‌گذارد (احمدی، ۱۳۸۷). بهره‌برداری بی رویه از مواد رسوبی ستر رودخانه‌ها سطح اثرات زیانبار آلودگی‌های مکانیکی را افزایش می‌دهد (مجنویان، ۱۳۸۷). روش‌های محاسبه و اندازه‌گیری، تاثیرات برداشت شن و ماسه از بستر و کناره رودخانه و تغییراتی که در رودخانه ایجاد می‌شود در مطالعه رودخانه‌ها دارای اهمیت می‌باشد. پارامترهای فیزیکی رودخانه‌ها، اصلی‌ترین فاکتورهای مورد سنجش برای تبیین اثرات فعالیتهای معدنکاری در بستر رودخانه است. تغییرات صورت گرفته در بستر به واسطه این فعالیت منجر به تغییر در مقادیر و اندازه برخی از پارامترهای فیزیکی رود می‌شود. که سنجش و اندازه گیری آن در طی زمان می‌تواند اثرات این فعالیت در تغییر این خصوصات را بازگو نموده، امکان تحلیل واکنش‌های رود در شکل فرسایشی و یا حادثه سازی را فراهم آورددارین رابطه در سطح جهانی و در سطح ایران تحقیقاتی انجام شده است از جمله (Surian 2003, 301)، (American Fisheries Sorety, 2002, 1)، (Antonelli et al, 2004)، (نوحه ۱۳۸۵)، (عسگری، ۱۳۸۲)، (مقدودی و همکاران، ۱۳۸۹)، محدوده مورد مطالعه در حوضه آبخیز رودخانه کشکان با وسعت ۶۶°۹۲۷۵ کیلومتر مربع در جنوب غربی ایران واقع شده است (سوری نژاد، ۱۳۸۱، ۶۸). محدوده مورد مطالعه در مختصات ۳۳°۳۵'۰۰" عرض شمالی و طول شرقی ۴۷°۴۷'۰۰" قرار دارد و سه معدن برداشت شن و ماسه در طول ۱۴ کیلومتری این رودخانه در حال فعالیت می‌باشند. (شکل ۱)



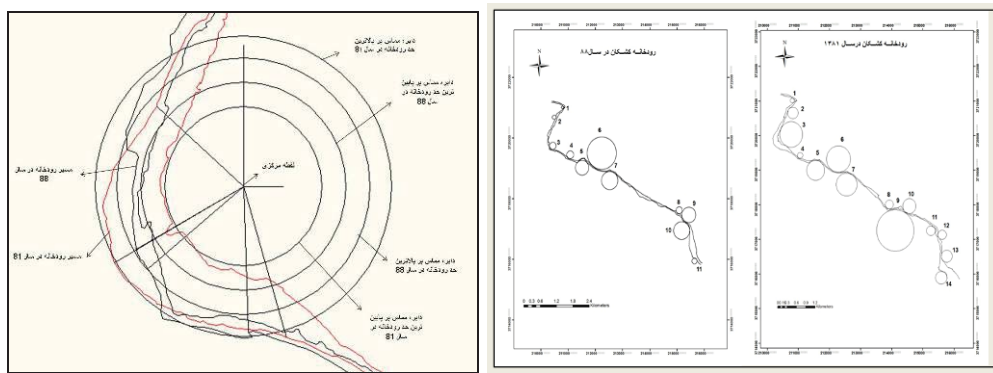
شکل ۱: موقعیت محدوده مورد مطالعه در شهرستان خرم‌آباد

مواد و روشها

در این پژوهش از منابع اسنادی و کتابخانه‌ای، نقشه‌های توپوگرافی ۱:۲۵۰۰۰، سازمان جنگل‌ها و مرانع کشور، عکس‌های هوایی با مقیاس ۱:۴۰۰۰۰ برداشت شده توسط سازمان نقشه‌برداری کشور در سال ۸۱، تصاویر ماهواره‌ای از ماهواره IRS سنجنده کارتوست، سازمان جغرافیایی نیروهای مسلح داده‌های پیمایشی و اندازه‌گیری‌های میدانی استفاده شده است. همچنین این تحقیق مبتنی بر روش مقایسه دو بازه زمانی، آزمایشگاهی و پیمایشی است. بدین منظور نخست با استفاده از نقشه‌های توپوگرافی و پیمایش میدانی برای شناسائی مکان واحدهای برداشت کننده، محدوده مطالعه مورد بررسی قرار گرفت. در مرحله بعد تصحیح هندسی و رادیومتریک و مرجع‌سازی تصویر ماهواره‌ای، و عکس‌هوایی تهیه شده انجام، و سپس مشخصات هندسی رود در بازه مورد نظر بررسی و اندازه گیریهای دقیق قرار گرفت. سپس لایه‌های برداشت رود بر روی هر دو تصویر (تصویر ماهواره‌ای و عکس‌هوایی) ترسیم و برای استخراج پارامترهای هندسی رود تغییرات ایجاد شده در رودخانه از دو محیط نرم‌افزاری AutoCAD و ArcGIS استفاده شد.

یافته‌ها و بحث

برای اندازه گیری زوایا و محیط این خمیدگی های اقدام به نشان گذاری ^{۲۴} نقاط و محاسبه زوایای خمث ها گردید. این نقاط به نحوی تعیین شدند که اولا در هر دو زمان مورد بررسی در خارج از بستر رودخانه قرار داشته، ثانیا شعاع دایره استخراج شده از آن به میزان حداکثر خمیدگی بوده و حداامکان محیط دایره بر روی بخشی از خم رودخانه مماس گردد. با ترسیم این دوایر کلیه زوایای دارای خمث رودخانه قراعت و آزمیوت آن استخراج شد. در مرحله بعد با ثابت نگاه داشتن نقاط مبنا اقدام به قرائت زوایای خمث در تصویر متاخر گردید. با مشخص نمودن دو نقطه عطف (محلي که خمیدگی در آنجا تغییر جهت می دهد) آزمیوت آن در دو بازه زمانی اندازه گیری و ثبت شد. بر اساس روش ذکر شده اقدام به استخراج پارامترهای نظیر، حداکثر و حداقل شعاع دایره مماس بر کناره رود، عرض بستر رود در محل خمیدگی، آزمیوت خمث (برای مشخص شدن میزان جابه جایی در خم) در نقطه شروع خمیدگی (نقطه عطف اول) و آزمیوت خمث در نقطه انتهای خمیدگی یافته های حاصل از سنجش و اندازه گیری پارامترهای فیزیکی رودخانه در سال مبنا و همنهاد سازی آن با این خصوصیات در سال مقصد، امکان اندازه گیری و تحلیل تغییرات حادث در بستر و کناره های رود را فراهم آورد. چگونگی محاسبه این تغییرات در شکل ۲ نشان داده شده است.



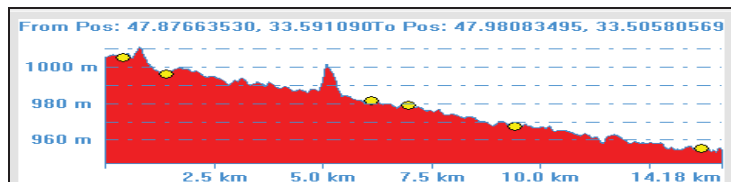
شکل ۳: مسیر رود کشکان و خمیدگی ها ۳: شیوه محاسبه تغییرات بر اساس آزمیوت خمیدگی ها

همچنین برای استخراج پارامترهای فیزیکی رودخانه اقدام به شناسایی خمیدگی های رودخانه در دobaزه زمانی مورد مطالعه شد. پارامترهای هندسی خمیدگی های رودخانه نیز از طریق محیط نرم افزاری و به کمک تصاویر در دو مقطع زمانی (سال ۸۱ و ۸۸) تهیه و استخراج گردید. (شکل ۲) روش محاسبه و اندازه گیری هر یک از این پارامترها به شرح ذیل می باشد:

الف- زاویه مرکزی - شعاع قوس: بر مماس کردن دوایر بر قوس ها می توان زاویه مرکزی را اندازه گیری کرد. برای این کار ابتدا نقاط عطف قوس ها مشخص شده و سپس از مرکز دوایر مماس بر قوس، خطوطی را بر نقاط عطف عمود کرده و زاویه مرکزی قوس ها محاسبه می شود (اسماعیلی، ۱۳۹۰). به این زاویه ایجاد شده زاویه مرکزی و به شعاع مماس بر دایره قوس ها شعاع دایره گفته می شود. در این تحقیق با استفاده از نرم افزار اتوکد و با ترسیم دوایر مماس بر قوس های رود در دو بازه زمانی زاویه مرکزی و برای تک قوس های رود در نرم افزار اتوکد محاسبه گردید. ب- ضریب خمیدگی: رودهای دارای الگوی پیچانه دی را می توان براساس پارامترهایی چون ضریب خمیدگی و زاویه مرکزی قوس های درجه بندی کرد. ضریب خمیدگی با تقسیم طول دره بر طول موج در محل هر قوس، محاسبه می شود. برای محاسبه ضریب خمیدگی هر یک از خمیدگی ها از فرمول $S = \frac{L}{\Delta H}$ استفاده شده است. ب- طول موج و طول دره (طول قوس): طول قوس یا طول دره معادل نصف طول موج هر قوس رودخانه می باشد (اسماعیلی، ۱۳۹۰)، طول موج و طول دره رودخانه دو پارامتر اصلی در طبقه بندی رود و تعیین ضریب خمیدگی رودها هستند و معمولاً بین این دو پارامتر همبستگی بالایی وجود دارد. برای به دست آوردن طول موج نقهه محور مسیر رود در نرم افزار اتوکد بعد از مشخص نمودن دو نقطه عطف هر قوس این دو نقطه به هم متصل شدند (طول موج)، سپس مقدار طول قوس برای هر خمیدگی محاسبه شد. شعاع نسبی: پایداری خمیدگی رودخانه ها تحت تأثیر عوامل مختلف کمی و کیفی قرار می گیرند. یکی از معیارهای کمی برای شناسایی میزان پایداری و تحت فشار بودن خمیدگی ها معیار شعاع نسبی است. این پارامتر از نسبت شعاع دایره محاط بر قوس رودخانه به عرض بستر آن محاسبه و اندازه گیری می شود.

²⁴ -Bench Mark

جهت بررسی بیشتر مورفولوژی رود، با استفاده از مدل رقومی ارتفاع^{۲۵} و ترسیم نیمرخ طولی رود، در نرم افزار Global Mapper تغییرات طولی رود از پل باستانی تا روستای چم داود در حدود یک کیلومتر محاسبه و اندازه گیری شد. علت بالا رفته‌گی بخشی از مسیر که در شکل وجود دارد خطابی نرم‌افزاری است (ترسیم نمرخ طولی رودخانه در نرم افزار GIS خطای بیشتر دیده می‌شود لذا از نرم افزار Global Mapper استفاده شده است). (شکل ۴)



شکل ۴: نیمرخ طولی رودخانه کشکان

۴-نتیجه گیری

پارامترهای فیزیکی رودخانه، اصلی‌ترین فاکتورهای مورد سنجش برای تبیین اثرات فعالیت‌های معدنکاری در بستر رودخانه است. تغییرات صورت گرفته در بستر به واسطه این فعالیت منجر به تغییر در مقادیر و اندازه برخی از پارامترهای فیزیکی رود می‌شود. که سنجش و اندازه گیری آن در طی زمان می‌تواند اثرات این فعالیت در تغییر این خصوصات را بازگو نموده، امکان تحلیل واکنش‌های رود در شکل فرسایشی و یا حادثه سازی را فراهم آورد. در این پژوهش شیوه‌های اندازه گیری تغییرات ایجاد شده در رودخانه بر اثر برداشت شن و ماسه مورد تحلیل و بررسی قرار گرفت. از جمله اندازه گیری تغییرات بر اساس آزمیوت هر خمیدگی، پارامترهای هندسی همچون ضرب خمیدگی و شعاع خمیدگی، طول موج و طول دره، زاویه مرکزی و همچنین نیمرخ طولی رودخانه در دوبازه زمانی مورد مطالعه و سپس مقایسه این تغییرات در هردو بازه زمانی و سپس بررسی های میدانی در رودخانه مورد مطالعه. این شیوه‌های اندازه گیری در رودخانه از جمله شیوه‌های مناسبی است در جهت پایش و مطالعه تغییرات ایجاد شده در رودخانه بر اثر برداشت شن و ماسه که می‌تواند در تحلیل های نهایی به پژوهشگر کمک نماید.

۵-مراجع

- ۱- اسماعیلی، ر. حسینزاده، م. متولی، ص، ۱۳۹۰، "تکنیک‌های میدانی در رئومورفولوژی رودخانه‌ای، انتشارات لاهوت، چاپ اول، ۲۰۹ صفحه.
- ۲- احمدی، حسن، و همکاران، ۱۳۸۷، "سازندهای دوره کواترنر"، دانشگاه تهران
- ۳- سوری نژاد، علی، ۱۳۸۱، "برآورد حجم رواناب حوضه آبخیز رودخانه کشکان با استفاده از GIS" پژوهش های جغرافیایی، شماره ۴۳
- ۴- شرکت آب منطقه ای استان لرستان، ۱۳۸۹، اطلاعات و مشخصات رودخانه‌های استان لرستان
- ۵- عسکری، مهدی، ۱۳۸۸، "تأثیر برداشت شن و ماسه و مصالح رودخانه ای بر روی سواحل و اثرات زیست محیطی آن" رساله کارشناسی ارشد، به راهنمایی، فغفور‌مغribi، محمود، دانشگاه فردوسی
- ۶- نوحه گر، احمد و همکاران، ۱۳۸۵، "بررسی اثرات برداشت مصالح (شن و ماسه) بر شکل بستر و رژیم رودخانه میناب" ، پژوهش های چغرافیایی، شماره ۴۵
- ۷- مجتبیان، هنریک، ۱۳۷۸، "مقدمه ای بر شناخت اکوسیستم های رودخانه ای" ، دانشگاه تهران، دانشکده محیط زیست
- ۸- مقصودی، مهران، و همکاران، ۱۳۸۹، "رساندن تغییرات الگوی مورفولوژیکی رودخانه خرم آباد با استفاده از Auto Cad و GIS، برنامه ریزی و آمایش سرزمین، دوره چهاردهم شماره ۳، صفحات ۲۷۵-۲۹۴،
- ۹- Antonelli 2004 et al *Recent morphological channel changes in a deltaic environment The case of the Rhône River, France Geomorphology* 57 (2004) 385–402.
- ۱۰- American Fisheries Society. 2002. Position paper on instream sand and gravel mining activities in North Carolina, February 6, 2002. North Carolina Chapter of the American Fisheries Society. American River Management Society. 1996. ARMS News. Summer 1996, Vol 9, No. 2. Pp1-30.
- ۱۱- Surian, N., and M. Rinaldi. 2003. Morphological response to river engineering and management in alluvial channels in Italy. *Geomorphology* 50: pp 307-326.

ارتباط دبی لبالبی، قدرت جریان و تنش برشی با واحدهای ژئومورفیک در رودخانه لاویج: دامنه شمالی البرز مرکزی

محمد مهدی حسینزاده^۱، صدرالدین متولی^۲، رضا اسماعیلی^۳

^۱- استادیار دانشکده علوم زمین، دانشگاه شهید بهشتی

^۲- استادیار گروه جغرافیای دانشگاه آزاد اسلامی، واحد نور

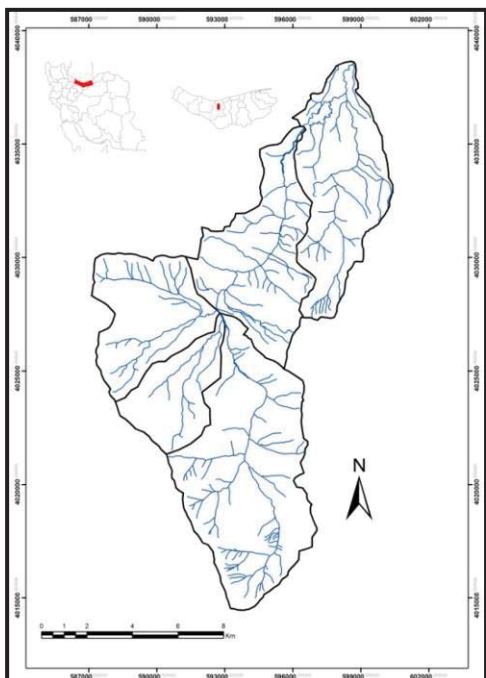
^۳- استادیار گروه جغرافیای دانشگاه مازندران

مقدمه و منطقه مورد مطالعه

ژئومورفولوژی رودخانه‌ای فرایندها و لندفرمهای تشکیل شده بوسیله رود را مورد بررسی قرار می‌دهد و این تجزیه و تحلیل واحدهای ژئومورفیک کanal و دشت سیلانی یک ابزار کلیدی را برای تفسیر ویژگی‌ها و رفتار رود در بازه‌های مختلف فراهم می‌آورد. دبی لبالبی جریانی است که در آن آب به طور دقیق کanal را پر کرده بدون آنکه از کناوهای کanal بیرون بزند و دشت سیلانی به زیر آب رود (لئوپلد، ۱۹۹۴). این دبی دوره بازگشته در حدود ۱/۳ الی ۲/۳ سال دارد. برای بیشتر رودها، جریان لبالبی میانگین دوره بازگشت ۱/۵ ساله دارد (روزنگن، ۱۹۹۶؛ لئوپلد، ۱۹۹۴). این دبی شکل کanal آبرفتی را تعیین می‌کند. عموماً مقاومت جریان در دبی لبالبی به حداقل می‌رسد، از این رو بیشترین کارابی را در حمل دارد. در واقع دبی لبالبی تقریباً مرحله‌ای است که در آن کanal و دشت سیلانی به هم متصل می‌شوند.

اگرچه مفهوم دبی لبالبی برای فهیمند ساده است، اما شناسایی آن در روی زمین می‌تواند مشکل باشد (لئوپلد، ۱۹۹۴). در رودهای طبیعی، بهترین شاخص کanal لبالبی، دشت سیلانی فعال است، اما این حالت همیشه برقرار نبوده و شاخص‌هایی مانند سطح بالای پونیت بارها، شکستگی شیب در امتداد کرانه رود، تغییرات در اندازه ذرات رسوبی کرانه رود و راس زیربری‌های کرانه کanal رود از شاخص‌های شناسایی ابعاد کanal رود در دبی لبالبی هستند (اسماعیلی و همکاران، ۱۳۹۰).

معمولاً در قسمت‌های مختلف یک رودخانه ایستگاه هیدرومتری وجود ندارد، از این رو برای محاسبه دبی لبالبی می‌توان از متغیرهای مستقل برای ساده کردن مسئله استفاده نمود. مقدار دبی لبالبی برای رودخانه‌های متفاوت می‌تواند از ۳ تا ۱۰ سال و حتی بیش از ۳۲ سال نیز بیشتر باشد.



شکل ۱: نقشه شبکه آبهای حوضه آبریز لاویج رود

در این پژوهش سعی بر این است ارتباط ابعاد کanal در دبی لبالبی با واحدهای ژئومورفیک درون کanalی، مساحت حوضه بالادست، اندازه ذرات رسوبی، تنش برشی و قدرت جریان رود مورد تحلیل و بررسی قرار گرفته و روابطی برای پیش‌بینی ابعاد کanal لبالبی در یک حوضه کوهستانی ارائه گردد.

حدوده مورد مطالعه حوضه آبریز لاویج رود نام دارد که در استان مازندران و جنوب شهر نور در دامنه‌های شمالی البرز مرکزی قرار گرفته است (شکل ۱). مساحت تقریبی حوضه آبریز لاویج رود تا خروجی از کوهستان حدود ۱۴۴/۷ کیلومتر مربع می‌باشد. از نظر زمین شناسی سازندهای این منطقه از دوره پرمین تا دوره کواترن تشكیل شده است که سنگ‌هایی مانند شیل، ماسه‌سنگ، کنگلومرا، آهک و دولومیت در آن دیده می‌شود. میانگین بارش سالانه حوضه به روش هم‌بارش ۶۱۷ میلی متر محاسبه گردید که این مقدار به سمت خروجی رود از حوضه به حدود ۸۰۰ میلی متر و به سمت بالادست حوضه تا ۳۰۰ میلی متر کاهش می‌یابد (ژروتی و اسماعیلی، ۱۳۸۰). طول رودخانه اصلی از مرتفع ترین نقطه (۳۴۰۰ متر) تا خروجی رود از کوهستان حدود (ارتفاع ۱۰۰ متر) ۲۹/۴ کیلومتر می‌باشد. میانگین دبی این رود در طی دوره آماری ۱۳۸۰-۱۳۳۷، ۱/۱ متر مکعب در ثانیه بوده است. بزرگترین سیلانی که در این دوره آماری ثبت شده ۱۷۵ متر مکعب در ثانیه بوده که در تابستان سال ۱۳۷۶ اتفاق افتاده است (اسماعیلی و حسین‌زاده، ۱۳۸۸).

مواد و روشها

در این مطالعه بررسی دبی لبالبی در امتداد کanal اصلی رودخانه لاویج رود به طول ۲۹/۴ کیلومتر در محدوده کوهستانی انجام گرفته است. کل کanal رودخانه لاویج به یازده بازه همگن تقسیم و بررسی های میدانی در خصوص هر یک از بازه ها انجام شد. هر یک از بازه ها نیز با استفاده از سیستم طبقه بندی مورفولوژیکی رودهای کوهستانی (مونتگمری و با فینگنون ۱۹۹۷) طبقه بندی شدند. برای تمامی بازه، بر طبق واحد های مورفولوژیک کanal (سکو- چالاب یا چالاب- خیزاب)، عرض لبالبی (W)، عمق لبالبی (d) و شیب کanal (S) با استفاده از دوربین ترازیابی اندازه گیری شد.

۱- اندازه گیری رسوبات سطحی: به منظور تعیین اندازه رسوبات سطحی در امتداد کanal اصلی، از روش شمارش سنگ ولمن (۱۹۵۴) استفاده گردید. بدین منظور در امتداد مسیر رود در بازه های نمونه حداقل ۱۰۰ نمونه سنگ برداشت و ابعاد آنها اندازه گیری شد و با ترسیم نمودار تجمعی، اندازه قطر ذرات در صدک های ۱۰، ۵۰ و ۹۰ محاسبه گردید.

۲- اندازه گیری دبی: به علت وجود فقط یک ایستگاه هیدرومتری در خروجی حوضه و عدم وجود ایستگاه در سایر زیر حوضه ها، براساس اندازه ذرات و شیب کanal و با استفاده از روش مانینگ سرعت و دبی لبالبی محاسبه گردید. پس از جمع آوری داده های مربوط به ابعاد کanal، اندازه ذرات و دبی جریان در حالت لبالبی، تنفس برشی، قدرت رود و ارتباط بین این متغیرها مورد تجزیه و تحلیل قرار گرفت و در نهایت روابط نهایی ارائه گردید.

۹- یافته ها و بحث

تحلیل مورفولوژیک انجام شده در بازه های مورد مطالعه در رودخانه لاویج نشان داد که فراوان ترین اشکال رئومورفیک درون بستری سکو- چالاب با ۲۷/۳ درصد و بعد از آن مورفولوژی چالاب- خیزاب. جدول ۱ داده های استخراج شده از مقاطع و نمونه برداری از سطح بستر برای اشکال مورفولوژیک متفاوت در رودخانه لاویج را نشان می دهد.

جدول ۱: داده های استخراج شده از مقاطع و نمونه برداری از سطح بستر در رودخانه لاویج

D90 mm	D50 mm	D10 mm	شیب بازه m/m	عمق لبالبی m	عرض لبالبی m	طول رود m	مساحت Km ²	مورفولوژی کanal	نام مقطع	شماره مقطع
۱۴۲	۴۰	۱۷	۰.۰۲	۰.۶۵	۴.۲	۱۳۹۵۴.۳	۲۸.۷	P-R	نخس	۱
۱۳۷	۳۰	۱۰	۰.۰۲	۱	۹	۲۹۳۶۷.۹	۱۱۸.۱	P-R	پارک کشپل	۲
۱۴۰	۴۰	۵	۰.۰۳	۰.۶	۹.۵	۲۲۰۷۰	۱۱۲.۰۸	P-R	تنگه لاویج	۳
-	-	-	۰.۰۸	۰.۲۲	۲.۱	۳۲۲۲	۵.۳	S-P	کرجی ۱	۴
-	-	-	۰.۰۸	۰.۳	۲.۳	۵۴۹۴	۱۱.۰۵	S-P	کرجی ۲	۵
-	-	-	۰.۰۷	۰.۱	۱.۲۵	۵۷۵۰	۱۰.۹۸	S-P	به بنک	۶
-	-	-	۰.۰۶	۰.۳۵	۲.۷	۱۱۶۸۰	۱۷.۲۲	S-P	به بنک ۲	۷
۱۹۲	۳۰	۵	۰.۰۶	۰.۴	۳	۶۴۳۹.۲	۱۴.۱۹	S-P	رئیس کلا	۸
۱۷۸	۶۶	۱۱	۰.۰۸	۰.۷	۴.۵	۱۱۷۶۵.۸	۴۴.۴۷	S-P	کیاکلا ۱	۹
۱۳۰	۳۲	۱۰	۰.۰۳۷	۰.۸	۵.۸	۹۶۱۲.۳	۳۶.۶۲	S-P	کیاکلا ۲	۱۰
-	-	-	۰.۱۲	۰.۶	۳.۶	۳۵۷۱.۵	۵	S-P	کیاکلا ۳	۱۱

۱-۳- دبی لبالبی، قدرت جریان و تنفس برشی

مقادیر مساحت حوضه زهکشی برای مقطع اندازه گیری شده از نقشه توپوگرافی منطقه استخراج گردید. از ترسیم دبی لبالبی و مساحت زهکشی رابطه ۱ بدست آمده است.

$$Q_{bk} = 0.095 A + 0.66 \quad (R^2 = 0.75) \quad (1)$$

از طریق بررسی های میدانی و با توجه به رابطه ۱ و رابطه قدرت کل جریان ($Q_{bk}S = \Omega$)^۲، قدرت رود در شرایط لبالی محاسبه گردید (جدول ۲). در رودخانه لاویج، بازه های دارای مورفولوژی سکو-چالاب همراه با شیب زیاد، رسوبات بستری درشت و دیب لبالی بالا بوده و در نتیجه مقادیر بالای قدرت جریان نیز مشاهده می شود (جدول ۱ و ۲).

جدول ۲: داده های استخراج شده از مقاطع و نمونه برداری از سطح بستر در رودخانه لاویج

شماره مقطع	نام مقطع	محیط مرطوب m	مساحت مقطع m ²	دیب لبالی m ³ /s	قدرت کل w	قدرت رود مخصوص w/m ²	سرعت جریان m/s	شعاع هیدرولیک m	تنش برشی N/m ²
۱	نجاس	۳.۹	۱.۳۲	۲.۰۱	۳۹۴	۹۴	۱.۵	۰/۳۴	۶۶
۲	پارک کشپل	۱۱.۷	۷.۱۳	۱۶۰.۸	۳۱۵۵	۳۵۱	۲.۳	۰/۶۱	۱۲۰
۳	تنگه لاویج	۱۴	۴.۱۶	۷.۱۰	۲۰۹۰	۲۲۰	۱.۷	۰/۳	۸۷
۴	کرچی ۱	۲.۹	۰.۹۳۱	۲.۲۴	۱۷۵۵	۸۳۶	۲.۴	۰/۳۲	۲۵۲
۵	کرچی ۲	۲.۳۵	۰.۴۶	۰.۷۹	۶۲۲	۲۷۱	۱.۷	۰/۲	۱۵۴
۶	به بنک	۱.۶	۰.۶۲۵	۱.۶۰	۱۱۰۰	۸۸۰	۲.۶	۰/۳۹	۲۶۸
۷	به بنک ۲	۲.۸	۰.۸	۱.۵۴	۹۰۶	۳۲۶	۱.۹	۰/۲۹	۱۶۸
۸	رئیس کلا	۳.۵۵	۰.۶۴	۰.۹۰	۵۳۲	۱۷۷	۱.۴	۰/۱۸	۱۰۶
۹	کیاکلا ۱	۶.۶	۱.۸	۳.۸۸	۳۰۴۲	۶۷۶	۲.۲	۰/۲۷	۲۱۴
۱۰	کیاکلا ۲	۸.۵	۳.۴	۶.۴۴	۲۲۳۶	۴۰۳	۱.۹	۰/۴	۱۴۵
۱۱	کیاکلا ۳	۵.۷۵	۱.۳	۳.۰۲	۳۵۵۹	۹۸۹	۲.۳	۰/۲۳	۲۶۶

قدرت کل جریان بهطور کلی با مساحت افزایش می یابد (ویبانلو و آگوستینو، ۲۰۰۷) اما در رودخانه لاویج با رابطه معنی داری بین قدرت رود و مساحت زهکشی ($R^2 = 0.058$) بدست نیامد. همچنین عرض رودخانه در ارتباط با قدرت کل رود نیز همانند مساحت دارای همبستگی قوی نمی باشد (رابطه ۲). روابط رگرسیون ضعیفی بین اندازه ذرات D50 و D90 با قدرت رود مشاهده می شود (روابط ۳ و ۴).

$$W = 0.001\Omega + 2.259 \quad (R^2 = 0.247) \quad (2)$$

$$D_{50} = 0.003\Omega + 32.38 \quad (R^2 = 0.11) \quad (3)$$

$$D_{90} = 0.005\Omega + 164 \quad (R^2 = 0.071) \quad (4)$$

مقادیر بالاتر قدرت کل جریان و Di منطبق با مورفولوژی سکو-چالاب است (جدول ۲)، که بازه ها غالباً دارای شیب بیشتر و رسوبات درشت می باشند. بروم و مونتگومری (۲۰۰۳) در مطالعه خود در خصوص سرآب جریانها، دریافته اند که روند قدرت کل جریان در مقابل اندازه دانه، مشابه زمانی است که قدرت جریان مخصوص ($\omega = \Omega/W$) در نظر گرفته می شود. روابط ۵ و ۶ روند قدرت مخصوص رود را با قطر اندازه ذرات نشان می دهند. طبق این روابط اندازه D50 رسوبات با قدرت مخصوص رود ارتباط داشته و قابل پیش بینی می باشد. اما ضریب تبیین مناسبی برای پیش بینی اندازه ذرات D90 بدست نیامده است.

$$D_{50} = 0.045\omega + 25.27 \quad (R^2 = 0.465) \quad (5)$$

$$D_{90} = 0.021\omega + 146.1 \quad (R^2 = 0.032) \quad (6)$$

همان طور که از جدول ۲ و ۳ دریافت می شود کمترین مقادیر قدرت جریان مخصوص قسمت های پایین دست رودخانه لاویج مشاهده می شود. در مقابل، در بازه های با مورفولوژی سکو-چالاب مقادیر بالاتر قدرت جریان مخصوص وجود دارد. رابطه بین تنش برشی با مساحت بالادرست به صورت یک رابطه توانی قابل توضیح می باشد که نشان دهنده کاهش کلی میانگین تنش برشی از بالا دست به طرف پایین دست یعنی همراه با افزایش

مساحت می باشد(رابطه ۷). بررسی های میدانی نشان داد که نسبت قدرت کل جریان به افزایش مساحت حوضه زهکشی بسیار متغیر می باشد. افزایش مساحت زهکشی به طور قوی قدرت جریان مؤثر را تحت تأثیر قرار می دهد و قدرت جریان نیز بر روی عرض کanal همان تأثیر را دارد. درشت شدگی رو به پایین D90 و D50 مطابق نظرات بروم و مونتگومری (۲۰۰۳) به مساحت زهکشی و همچنین به قدرت کل جریان وابسته است. برای رودخانه لاویج، عدم همبستگی بین Di و قدرت کل جریان ممکن است ناشی از دینامیک سطح بستر به عنوان یک پاسخ به مصرف محلی جریان انرژی جنبشی باشد (بروم و مونتگومری، ۲۰۰۳).

$$\tau_{blk} = 346.6 A^0.26 \quad (R^2 = 0.378) \quad (7)$$

افزایش رو به پایین در دبی شکل دهنده (دبی لبالی) همراه با الگوی شبی محلی منجر به افزایش مقادیر قدرت جریان در حالت لبالی شده و این موضوع منجر به ایجاد و حفظ کاسکاد و سکو-چالاب می شود. در بستر رودخانه لاویج به دلیل در دسترس بودن قله سنگ و تخته سنگها، برش عمودی محدود شده است و قدرت جریان نیز ممکن است عمدهاً برای فرسایش کرانه و تعدیل عرض کanal صرف شود.

اگر تغییر رو به پایین شبی محلی را با افزایش رو به پایین دبی که منجر به افزایش قدرت جریان می شود ترکیب کنیم، نشان می دهد که قدرت کل جریان می تواند با تأثیر درشت شدگی از طریق مکانیسم حمل و نقل انتخابی معکوس همراه باشد. بنابراین، بر اساس معادله ۷، افزایش ابعاد رسوبات در امتداد کanal اصلی رودخانه لاویج می تواند به عنوان پاسخ مستقیم به افزایش قدرت جریان در نظر گرفته شود. به علاوه عرض به طور قوی به مساحت و در نتیجه به دبی لبالی وابسته است. مقایسه تنش برشی در وضعیت لبالی با تنش برشی بحرانی از طریق معادله آستانه تعادل، قطرهای متفاوت D50 و D90 مشابه مقادیر پیشنهاد شده توسط لنز و داگوستینو (۱۹۹۸) برای ریوکوردون (یک جریان کوهستانی مشابه رودخانه لاویج) را نشان می دهد.

نتیجه گیری

در این پژوهش تغییرات هندسه کanal بالادست تحت شرایط لبالی بررسی، ارتباط بین متغیرهای هیدرولیک و مورفولوژیک واکاوی و ارزیابی شد. در امتداد رودخانه لاویج، سایت های پرسیب تالوک با اندازه ذرات درشت محلی همراه است، در بازه های سکو-چالاب به دلیل اندازه درشت ذرات، هر ز انرژی زیاد بوده و در نتیجه فرسایش قائم بستر محدود می شود. علاوه بر این، به نظر می رسد پاسخ فوری به شبی های محلی بالا، ناشی از درشت شدگی باز بستر می باشد. افزایش مساحت زهکشی قدرت جریان را تحت تأثیر قرار داده و قدرت جریان نیز بر روی عرض کanal تأثیر گذاشته است. همچنین بین قطر ذرات رسوبی و قدرت کل جریان همبستگی خوبی مشاهده نشد که این ممکن است ناشی از دینامیک سطح بستر به عنوان یک پاسخ به مصرف محلی جریان انرژی جنبشی باشد. در واقع در بستر رودخانه لاویج به دلیل در دسترس بودن قله سنگ و تخته سنگها برش عمودی محدود شده است و قدرت جریان نیز ممکن است عمدهاً برای فرسایش کرانه و تعدیل عرض کanal صرف شود. نتایج گویای رابطه جالب بین تنش برشی در وضعیت لبالی و تنش برشی بحرانی برای قطر D50 رسوبات می باشد. این یافته ها بیان می کند که شرایط شکل دهنده (دبی لبالی)، تنش برشی مناسب برای حرکت D50 رسوبات سطحی یا قطرهای ریزتر را در امتداد کanal ایجاد می کند.

مراجع

- [۱] اسماعیلی، رضا و حسینزاده، محمد Mehdi، بررسی فرایندهای تشکیل دهنده موائع طولی در رودخانه های کوهستانی: مطالعه موردی، البرز شمالی، حوضه آبریز لاویج رود، پژوهش های جغرافیای طبیعی، شماره ۷۱، ص ۴۳-۵۰، ۱۳۸۸
- [۲] اسماعیلی، رضا، حسینزاده، محمد Mehdi، و متولی، صدر الدین، تکنیک های میدانی در ژئومورفولوژی رودخانه ای، انتشارات لاهوت، تهران، ۲۷۵ ص، ۱۳۹۰
- [۳] Brummer, C.J., Montgomery, D.R., Downstream coarsening in headwater channels. Water Resources Research, 39(10), 1–14. 2003
- [۴] Fonstad, M., Spatial variation in the power of mountain streams in the Sangre de Cristo Mountains, New Mexico. Geomorphology, 55, 75–96. 2003
- [۵] Lenzi, M.A., D'Agostino, V., Sonda, D., Ricostruzione morfologica e recupero ambientale dei torrenti. Criteri metodologici ed esecutivi. Editoriale Bios, Cosenza. 2000
- [۶] Leopold, L.B., A View of the River. Harvard University Press, Cambridge, Massachusetts. 1994
- [۷] Montgomery, D.R., and Buffington, J.M., Channel-reach morphology in mountain drainage basins. Geological Society of America Bulletin, 109 (5), 596–611. 1997
- [۸] Vianello, A., and D'Agostino, V., Bankfull width and morphological units in an alpine stream of the dolomites (Northern Italy), Geomorphology, v. 83 , p. 266–281,2007.
- [۹] Whiting, P.J., Stamm, J.F., Moog, D.B., and Orndorff, R.L., Sediment-transporting flows in headwater channels. Geological Society of America Bulletin, 111, 50–466, 1999.

لندفرم‌های بیوژئومورفولوژیک: بازخورددهای اکوژئومورفیک در تحولات چهره زمین

Biogeomorphic Landforms: Ecogeomorphic Feedbacks on landscape evolutions

زهرا عبداللهزاده^۱، عادل سپهر^۲^۱ دانشجوی کارشناسی ارشد مدیریت مناطق بیابانی، دانشگاه فردوسی مشهد^۲ استادیار دانشکده منابع طبیعی و محیط زیست، دانشگاه فردوسی مشهد
adelsepehr@um.ac.ir

۱- مقدمه

فرآیندهای فیزیکی نظیر هوازدگی، فرسایش و رسوب و نیز فرآیندهای آندوژن (شامل مکانیکی و شیمیایی) و تکتونیک، همواره از دیدگاه ژئومورفولوژیست‌ها به عنوان اصلی ترین عامل شکل گیری لندفرم‌های موجود در اکوسیستم قلمداد شده است. فرآیندهایی که ثابت شده است تأثیرات مشابه‌ای را حتی در سیارات دیگر مانند اعمال توانند کنند (مانند لندفرم‌های بادی مشابه زمین). امروزه ثابت شده است که تنها ۱۶٪ از مناطق پوشیده شده از سطح زمین را می‌توان صرفاً تحت تأثیر فرآیندهای فیزیکی دانست (مانند مناطق فراخشک و مناطق منجمد قطبی). مناطقی که حیات و حضور ارگانیسم‌ها نقش ناچیزی در تغییرات محیطی و در نتیجه شکل گیری لندفرم‌ها دارند (لندفرم‌های کانیونی)، بنابراین، ۸۴٪ از کل سطح زمین متأثر از حضور ارگانیسم‌هایی هستند که با عملکرد دینامیک خود، بدون شک نقش قابل توجهی در شکل گیری لندفرم‌ها دارند. حتی در اکوسیستم‌هایی نظیر بیابان که حضور عوامل زنده مؤثر نظیر پوشش گیاهی کم است، می‌توان اثرات بیولوژیکی را در ارتباط با شکل گیری لندفرم‌ها مشاهده کرد، مانند سله‌های حاصل از فرآیندهای بیولوژیک در خاک‌های مناطق خشک (کورن بلیت و همکاران، ۲۰۱۱). توسعه زمینه‌های مطالعه لندفرم‌ها با در نظر گرفتن مفاهیم اکولوژیکی و تأثیر حضور میکرو و ماکرو ارگانیسم‌ها، شاخه جدیدی از مطالعات فرآیندهای سطح زمین به نام «بیوژئومورفولوژی»^{۲۶} را شکل می‌دهد (جدول ۱). در نظر گرفتن اثرات ارگانیسم‌های زنده در فرآیندهای سطح زمین و لندفرم‌ها، منجر به پیشرفت‌های چشمگیری در علم ژئومورفولوژی شده است. شناسایی و ارزیابی کمی و کیفی اثرات گونه‌های زیستی در مقیاس‌های زمانی و مکانی و نقش انواع گونه‌های آبی و خاکی در دینامیک رسوب و یا در مواردی نقش زیستگاه‌های اکولوژیک در شکل گیری لندفرم‌های خاص، از زمینه‌های مورد بحث در این چارچوب می‌باشد (لندفرم‌هایی نظیر میماها در آفریقای جنوبی و غارهای نمکی در می سی پی آمریکا) (مک فارلین و لاندبرگ، ۲۰۰۶). با این حال تحقیقات بیوژئومورفولوژی بیشتر تر تمایل به تأکید اثرات یکطرفه فرآیندهای اکولوژی بر فرم‌های ژئومورفولوژیک (جدول ۱- ب۱) و یا اثر فرآیندهای ژئومورفولوژیک در توزیع مکانی جوامع زیستی دارند (جدول ۱- ب۲). اما مطالعه یکپارچه اثرات متقابل فرآیندهای ژئومورفولوژیکی و رفتارهای اکولوژیک گونه‌های زیستی به خصوص در ساختار آشیان اکولوژیک گونه‌ها، منجر به توسعه مفهوم «اکوژئومورفولوژی»^{۲۷} شده است که به مطالعه بازخورددهای دینامیک لندفرم‌ها و جوامع زیستی می‌پردازد (فیشر و همکاران، ۲۰۰۷؛ رینهارت و همکاران، ۲۰۱۰) (جدول ۱- ج). همچنین در توصیف زیرمجموعه‌ای از مطالعات بیوژئومورفولوژیک که منحصراً بر روی بازخورددهای بین دینامیک لندفرم‌ها و جوامع زیستی در مقیاس‌های زمانی متواتی تأکید دارد، مفهوم تازه‌ای تحت عنوان «بیومرفودینامیک»^{۲۸} توسط موری و همکارانش (۲۰۰۸)، پیشنهاد شد. در مقیاس وسیع‌تر، مفهوم «بیوژئومورفولوژی تحولات کلان»^{۲۹}، به مطالعه بازخورددهای بین ژئومورفولوژی، اکولوژی و فرآیندهای تکاملی پرداخته و با تأکید بر مفاهیم توسعه فنتیپی، دینامیک تحولات زیستی، ساختارهای مثبت و منفی آشیان اکولوژیک گونه‌های زیستی و وراثت اکولوژیک به توسعه ارتباط بین این مفاهیم با فرآیندهای ژئومورفولوژیک می‌پردازد (جدول ۱- د).

هدف از این مقاله، معرفی علم بیوژئومورفولوژی، اصول بنیادی و مفاهیم کلیدی در بحث روابط بین ارگانیسم‌های طبیعی و شکل گیری لندفرم‌های ژئومورفولوژیک است. بیوژئومورفولوژی، بیولندفرم‌ها و فرایندهای شکل‌زا در ارتباط با ساختارها و عوامل اکولوژیکی، بخشی از مفاهیمی است که در این مقاله دنبال شده است.

²⁶ Biogeomorphology²⁷ Ecogeomorphology²⁸ Biomorphodynamic²⁹ Macroevolutionary Biogeomorphology

در نظر گرفتن اثر ارگانیسم‌های زنده در دینامیک سطح زمین، به بهبود درک ما از ژئومورفولوژی در تشخیص لندرمها که به نحو خاصی با شرایط زیستگاهی آنها در ارتباط است منجر می‌شود (وایلس و همکاران، ۱۹۸۸). درک و اثبات تأثیر فرآیندهای زیستی ارگانیسم‌های زنده نظیر گیاهان و حیوانات بزرگ و کوچک در فرآیندها و فرم‌های ژئومورفولوژیکی از سوی ژئومورفولوژیستها منجر به توسعه مفهوم «بیوژئومورفولوژی» گردید. یافته‌های بیوژئومورفولوژیک ثابت کرده است که موجودات زنده (میکرو و ماکرو ارگانیسم‌ها) در طی مقیاس‌های زمانی و مکانی متوالی، فرآیندهای ژئومورفولوژیک و الگوهای سازنده لندرمها را از طریق ساخت و سازهای زیستی (Bio-construction)، پایداری‌های زیستی (Bio-stabilization)، فرسایش زیستی (Bio-erosion) و اختلالات زیستی (Bio-turbation)، تحت تأثیر خود قرار می‌دهند و گاهی با تغییرات بسیار کوچک مقیاس در محدوده کنام اکولوژیک خود، تحولاتی عظیم در لندرمها در مقیاس بزرگ منطقه‌ای ایجاد می‌کنند. این ساخت و سازهای مهندسی گونه‌های زیستی در حدود آشیان اکولوژیک خود در طول یک مقیاس زمانی بزرگ، لندرمها را در مقیاس ماکرو دچار تحول می‌کنند. در این ارتباط شکل گیری لندرم‌های زیستی و شناخت نقش مهندسی این ارگانیسم‌های زنده بسیار مهم است.

جدول شماره ۱: دیدگاه‌های مختلف در ارتباط با شکل گیری لندرم‌ها و تأثیر ارگانیسم‌ها در تغییرات چهره زمین و شکل گیری لندرم‌های زیستی (کورن بلیت و همکاران، ۲۰۱۱).

دلیل تعاملی	مفاهیم مرتبط ارائه شده در بیوژئومورفولوژی	مفاهیم بنیادی اکولوژی و بیولوژی تکاملی	دیدگاه‌ها
لندرم (تعادلات ژئومورفولوژیک)	-	-	الف) ژئومورفولوژیک: مطالعه فرآیندهای سطح زمین و لندرم‌ها فقط با در نظر گرفتن مؤلفه‌های فیزیکی
لندرم تبدیل/ساخت (تعادلات ژئومورفولوژیک)	جامعه زیستی	-	ب-۱) بیوژئومورفولوژیک: مطالعه اثرات ارگانیسم‌ها بر فرآیندهای سطح زمین و لندرم‌ها
لندرم انتخاب (تعادلات ژئومورفولوژیک)	جامعه زیستی (انتخاب ترکیب گونه‌ها)	-	ب-۲) بیوژئومورفولوژیک: مطالعه اثرات فرآیندهای سطح زمین و لندرم‌ها بر ساختار جوامع زیستی
لندرم انتخاب تبدیل/ساخت (تعادلات ژئومورفولوژیک)	جامعه زیستی (انتخاب ترکیب گونه‌ها)	توالی بیوژئومورفیک؛ اکوژئومورفولوژی بنیادی؛ بیومورفودینامیک	ج) اکوژئومورفولوژیک: مطالعه بازخورددهای بین جامعه زیستی و دینامیک‌های لندرم
انتخاب طبیعی (تحولات داروینی)	تعادلات (تحولات غیر داروینی)	فتوتیپ‌های توسعه یافته؛ دینامیک تحولات اکولوژیکی؛ تحولات کلان؛ ساختارهای مثبت و منفی آشیان اکولوژیکی؛ وراشت اکولوژیکی	د) تحولات کلان بیوژئومورفولوژیک: مطالعه بازخورددهای بین ژئومورفولوژی، اکولوژی و فرآیندهای تکاملی؛ سیستم‌های بیوژئومورفولوژیک به عنوان یک سیستم پیچیده و سازگار با الگوهای پدیدار شده در مقیاس جوامع زیستی و چشم انداز و بازخورددهای سازگار و متأثر از فعالیت افراد جامعه (مفهوم داروینی)
جمله‌ی (انتخاب ارگانیسم‌ها)	انتخاب جامعه ساخت تعدييل/ساخت (تعادلات ژئومورفولوژیک)	وراثت بیوژئومورفولوژیکی؛ فتوتیپ مرکب توسعه یافته	

۳- مهندسین اکوژئومورفیک؛ مهندسین طبیعی

اصطلاح «مهندسين اکوژئومورفیک» یا «مهندسين طبیعی»، نخستین بار توسط دانشمندانی نظیر جونز و همکارانش (۱۹۹۷-۱۹۹۴) مطرح شد و اکنون با توسعه آن به مفهومی سازنده در پایش تحولات چهره زمین تبدیل شده است (رأیت و جونز، ۲۰۰۶). تفکر مهندسین اکوسیستم از مفاهیم

اثبات شده و شناخته شده در ارتباط با گونه‌های کلیدی و بنیادی اکوسیستم منشأ گرفته است (لیونس، ۲۰۰۵). گونه‌های مهندس طبیعت، اغلب گونه‌های فراوانی هستند که محیط فیزیکی خود را با روش‌های اتوزن از طریق ساختار و فیزیک خود و یا یک روش آلوزن و از طریق تعدیل جریان ماده و انرژی، به نفع خود و یا دیگر گونه‌ها تغییر می‌دهند. فرآیندهای ساختاری و عملکردی گونه‌های زیستی در راستای فرآیند تسهیل، شرایط آشیان اکولوژیکی را با فعالیت‌های مهندسی خود، برای سایر گونه‌ها تعدیل و ساختارهای مورفولوژیک مناسب با نیازهای گونه‌های ساکن در محیط را فراهم می‌کنند. مهندسین طبیعی، اعم از گونه‌های گیاهی یا جانوری، در سیاری از موارد که ما به اشتباه علت شکل گیری لندفرم‌ها را منحصرًا ناشی از عملکرد عوامل فیزیکی می‌پنداشیم، با فعالیت‌های کوچک مقیاس خود موجب بروز لندفرم‌های گستره در مقیاس وسیع می‌شوند. به عنوان مثال، تغییر نوع پوشش گیاهی در مناطق ساحلی و نیمه خشک که منجر به تغییر اشکال تپه‌های ماسه‌ای، از اشکال هلالی به تپه‌های پارabolیک می‌شود (در نیومکزیکو آمریکا) و یا حضور گونه‌های گیاهی که منجر به دام افتادن رسوبات ریز معلق در جریانات آبی شده و با ایجاد جزایر کوچک در میان جریان‌های رودخانه‌ای فعال، اشکالی از الگوهای آبراهه‌ای گیسویی را پدید می‌آورند (رودخانه تاگلیامنتو در ایتالیا، رودخانه کارون ایران در دست بررسی است). افزایش تنوع گونه‌های مهندس طبیعی در یک اکوسیستم، پیچیدگی ساختاری و عملکردی جامعه را افزایش داده و با بالابردن پتانسیل ارجاعی، حساسیت پذیری اکوسیستم به تنش‌های محیطی را کاهش می‌دهد.

۴- بازخورد های اکولوژیک (اکولوژی و زئومورفولوژی)

تمامی فعالیت‌های گونه‌های زیستی در ارتباط با فرآیندهای سطح زمین و شکل گیری لندفرم‌ها، در واقع به وجود یک تعامل پیچیده و غیرخطی بین مهندسین اکولوژیک، فرآیندهای زئومورفولوژیک و تکاملی اشاره دارند. به طوری که منجر به پیچیدگی‌های ذاتی سیستم‌های بیوژئومرفولوژیک می‌شود. این پیچیدگی‌ها به بازخورد بین مؤلفه‌های فیزیکی، اکولوژیکی و تکاملی که شکل دهنده سیستم‌های بیوژئومرفولوژیک هستند مربوط می‌شود (ریت کرک و همکاران، ۲۰۰۸؛ اروین، ۲۰۰۸). در واقع ایجاد چارچوب مفهومی بیوژئومرفولوژی، به بیان بازخوردهای بین فرآیندهای زئومرفولوژی (فرساش و رسوب، حمل رسوب، حمل رسوب، حمل رسوب)، فرآیندهای اکولوژیکی (تنوع زیستی، ساختار جامعه و تووالی) و فرآیندهای اکولوژی تکاملی (فرآیند انطباق)، منجر می‌شود که در این چارچوب مفهومی، بازخوردهای مربوط به صفات بیولوژیک گونه‌های مهندس طبیعت که به طور مستقیم یا غیرمستقیم در تعديل و دسترسی منابع برای سایر گونه‌ها نقش دارند، منجر به ایجاد تغییرات فیزیکی آشیان اکولوژیک و در نتیجه تغییر در مورفولوژی سیستگاهها و در نهایت شکل گیری لندفرم‌های خاص می‌شود. فرآیند انتخاب طبیعی به طور صریح با انتخاب گونه‌های سازگار با محیط و رفتارهای متفاوتی که این گونه‌ها در ایجاد آشیان اکولوژیک خود و سایر گونه‌ها دارند، در نهایت منجر به بروز لندفرم‌هایی خاص در عرصه‌ی اکوسیستم می‌شوند. از طرفی لندفرم‌های شکل گرفته طی بازخوردهای خود به سیستم‌های بیوژئومرفیک، مجدداً در روند تکامل یا توسعه و یا در جهت از بین بردن اثرات ساختارهای زیستی بر آشیان‌های اکولوژیک تأثیرگذار خواهد بود (مانند ساختارهای بیوژئومرفیک نبکاها و ربدوها). برای نمونه، اثر گونه‌های موریانه و خرخاکی در شکل گیری لندفرم‌های ویژه در منطقه سرخس در خراسان رضوی، بخوبی بازگوکننده تغییر و تحولات لندفرم مطابق با چیزی است که این مهندسین طبیعی در اکوسیستم دنبال می‌کنند (شکل ۱).



شکل ۱: اثر گونه‌های خرخاکی (الف) و موریانه (ب) در توسعه لندفرم‌های بیوژئومرفیک (منطقه سرخس، خراسان رضوی، سپهر، ۱۳۹۲)

۵- نتیجه گیری

بیوژئومرفلوژی به عنوان تلفیقی از علم اکولوژی و ریومورفلوژی، ابعاد وسیع‌تری را در زمینه تحلیل علل شکل گیری لندفرم‌های خاص در پیش-روی ما می‌گشاید. شناخت دقیق بازخوردهای بین فرآیندهای اکولوژیک و مرفلوژیک می‌تواند ما را در پیش‌بینی روند تحولات چهره زمین و پیدایش لندفرم‌ها در اکوسیستم‌های مختلف یاری نماید. در واقع با شناخت پارامترهای اکولوژیکی و مرفلوژیکی هر سیستم، می‌توان انتظار نوع خاصی از لندفرم‌ها را در هر اکوسیستم داشت و روند تحولات لندفرم‌ها را از شکلی به شکل دیگر ارزیابی نمود. توسعه مدل‌های مفهومی بیوژئومورفیک و شناسایی گونه‌های مهندس طبیعی در هر اکوسیستم به عنوان میراث‌های اکوژئومورفلوژیکی می‌تواند راهکاری مناسب در جهت پیش‌بینی تحولات چهره زمین به شمار آید.

پیشرفت‌های اخیر در زمینه بیوژئومورفلوژی تا حد زیادی از مفاهیم ارائه شده در اکولوژی سرچشمه می‌گیرد. مفاهیم «تسهیل» و یا «مهندسين اکوژئومورفیک یا به عبارتی مهندسین طبیعی اکوسیستم» که نشان‌دهنده زمینه‌های مربوط به ارتباط ریومورفلوژی با دینامیک اکولوژیک است، از این قبیل مفاهیم هستند. به طور کلی فرآیندهای ساختاری و عملکردی ارگانیسم‌ها در ایجاد اختلالات زیستی، نه تنها با محیط فیزیکی آنها سازگار بوده و تناظری با پایداری محیط ندارد، بلکه در مواردی با فعالیت‌های مهندسی خود تغییرات یا اصلاحاتی را در خصوصیات محیطی نیز پدید می‌آورند که منجر به ایجاد یا حفظ شرایط زیستگاهی منجر خواهد شد (اروین، ۲۰۰۸). به مفهومی دیگر، عملکردهای خود تنظیمی گونه‌های مهندس طبیعت در ساختار آشیان اکولوژیکی شان گرچه از دیدگاه ما نوعی آشوب محسوب می‌شوند، اما از دیدگاه اکوسیستمی این اختلالات مؤلفه‌های سازنده پایداری و تعادل محیط می‌باشند که در نهایت منجر به بروز انواع خاصی از لندفرم‌های موجود در طبیعت می‌شوند. مفاهیم ارائه شده در این مقاله، می‌تواند در درک بهتر دیدگاه بیوژئومورفلوژیک در تحول لندفرم‌ها و شکل گیری اشکال زمین مؤثر باشد.

۶- مراجع

- [1] Corenblit, D., Baas, A.C.W., Bornette, G., Darrozes, J., Delmotte, S., Francis, R.A., Gurnell, A.M., Julien, F., Naiman, R.J., Steiger, J., Feedbacks between geomorphology and biota controlling Earth surface processes and landforms: A review of foundation concepts and current understandings, *Earth-Science Reviews* 106, 307–331, 2011.
- [2] Erwin, D.H., Macroevolution of ecosystem engineering, niche construction and diversity, *Trends in Ecology & Evolution* 23, 304–310, 2008.
- [3] Fisher, S.G., Heffernan, J.B., Sponseller, R.A., Welter, J.R., Functional ecomorphology: feedbacks between form and function in fluvial landscape ecosystems, *Geomorphology* 89, 84–96, 2007.
- [4] Jones, C.G., Lawton, J.H., Shachak, M., Positive and negative effects of organisms as physical ecosystem engineers, *Ecology* 78, 1946–1957, 1997.
- [5] Lundberg, J., McFarlane, D.A., Speleogenesis of the Mt. Elgon ‘Elephant’, *Geological Society of America Special Paper* 404, pp. 51–63, 2006.
- [6] Lyons, K.G., Brigham, C.A., Traut, B.H., Schwartz, M.W., Rare species and ecosystem functioning, *Conservation Biology* 19, 1019–1024, 2005.
- [7] Murray, A.B., Knaapen, M.A.F., Tal, M., Kirwan, M.L., Biomorphodynamics: physical–biological feedbacks that shape landscapes, *Water Resources Research* 44, W11301, 2008.
- [8] Reinhardt, L., Jerolmack, D., Cardinale, B.J., Vanacker, V., Wright, J., Dynamic interactions of life and its landscape: feedbacks at the interface of geomorphology and ecology, *Earth Surface Processes and Landforms* 35, 78–101, 2010.
- [9] Rietkerk, M., Van de Koppel, J., Regular pattern formation in real ecosystems. *Trends in Ecology & Evolution* 23, 169–175, 2008.
- [10] Viles, H.A. (Ed.), *Biogeomorphology*, Blackwell, Oxford, UK, 1988.
- [11] Wright, J.P., Jones, C.G., Boeken, B., Shachak, M., Predictability of ecosystem engineering effects on species richness across environmental variability and spatial scales, *Journal of Ecology* 94, 815–824, 2006.

پهنه بندی خطر ناپایداری های دامنه ای در قلمروهای کوهستانی نیمه خشک

مطالعه موردی: حوضه آبریز جاغرق

ريحانه برومند

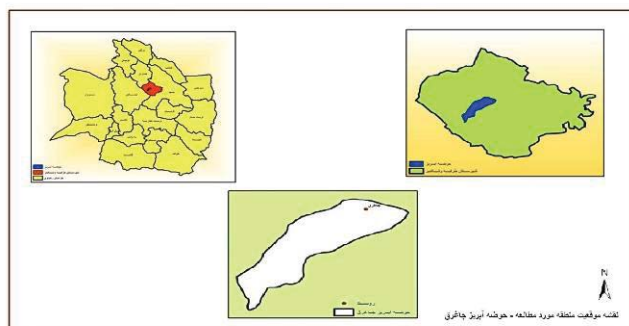
دانشجوی دکتری رئومورفولوژی-دانشگاه تبریز

مقدمه

ضرورت بررسی و شناخت حرکات توده ای دامنه ها به دلیل خسارات فراوانی که هم به لحاظ مالی و هم به جوامع انسانی وارد می آورند ، اجتناب ناپذیر به نظر می رسد . از بین انواع حرکات توده ای دامنه ، زمین لغزه ها از اهمیت ویژه ای برخوردار هستند. همه ساله در اثر وقوع لغزش در مناطق کوهستانی، حجم زیادی از سازند های سطحی (خاک ، آبرفت ها و مواد دامنه ای) تحت تاثیر نیروی نقل و فرایند های دامنه ای ، از شبی های طبیعی به پائین حمل می شوند و در اثر جا به جایی و بر جای گذاری مواد ناشی از لغزش ، خسارت زیادی به راه ها ، کانال های آبیاری و آبرسانی ، منابع طبیعی و مراکز مسکونی وارد می شود ، (بیاتی خطیبی ، ۱۳۸۳ ، ۱۰۵) از دهه ۱۹۶۰ به دلیل مخاطرات رئومورفیک تحقیقات نسبتا وسیعی پیغامون لغزش های نواحی کوهستانی آغاز شد(آلکاترا ۲۰۰۴-۶۷). تیه ری و همکارانش در سال ۲۰۰۷ میلادی برای فعالیتی که در زمینه ارزیابی نواحی مستعد زمین لغزش (که یکی از شایع ترین حرکات دامنه ای هستند) در محیط های پیچیده کوهستانی جنوب شرقی فرانسه انجام داده اند و از تلفیق الگوهای احتمال با روش آماری (GIS) و از تکنیک (BSA) برای ارزیابی خطر زمین لغزش استفاده کردند ، بنا به ضرورت حاکم براین شرایط یک سری فعالیت ها به روش های کمی و تجربی در زمینه پهنه بندی خطر وقوع این حرکات و بویژه بروز لغزش ها صورت گرفته است که به مهم ترین آنها تغییر مدل نیلسن در سال ۱۹۷۹ و آنبلگان در سال ۱۹۹۱ و مدل مورا- وارسون در سال ۱۹۹۳ می توان اشاره کرد آنبلگان در سال ۱۹۹۱ میلادی با در نظر گرفتن فاکتورهای لیتوژوژی ارتباط پیوستگی ساختاری باشیب و پستی و بلندی - کاربری و بوشش گیاهی و شرایط آب زیر زمینی وامتیاز دهی به آنها اقدام به تهیه نقشه های پهنه بندی خطر جریان و جریان های واریزه ای نمود (الهامی و امامی ۱۳۸۴). ساده ترین و در عین حال مناسب ترین روش ها در پهنه بندی خطر حرکات توده ای و زمین لغزش ها مربوط به روش ها و تکنیک های اولیه می باشد که بر تحلیل همپوشانی نقشه های عامل وزن دهی و ترکیب آن ها استوار میباشند.(بهنیافر- منصوری ۱۳۸۶-۲۶).

حدوده مورد مطالعه

حوضه آبریز جاغرق به لحاظ موقعیت جغرافیایی در استان خراسان رضوی ، شهرستان طرقبه و شاندیز بین عرض جغرافیایی $36^{\circ}14' \text{ to } 36^{\circ}19'$ و طول جغرافیایی $59^{\circ}14' \text{ to } 59^{\circ}21'$ در جنوب غربی شهرستان مشهد واقع گردیده است . پژوهش حاضر با موضوع امکان سنجی ناپایداریهای دامنه ای در کوهستانهای نیمه خشک ایران با مطالعه موردي بر روی حوضه آبریز جاغرق به شناخت عوامل مادر در بروز این ناپایداریها می پردازد. به طور کلی این حوضه جزیی از کوه های بینالود است . این حوضه که یکی از حوضه های مهم بینالود شمالی محسوب می گردد ؛ از سمت شمال شرق به دشت مشهد ، از شرق به حوضه آبریز گلستان ، از جنوب شرق به حوضه آبریز مایان ، از غرب و شمال غرب به کوه های بینالود محدود می شود.



نقشه شماره (۱) موقعیت طبیعی حوضه کوهستانی جاغرق- ترسیم نگارندگان

موادها و روش‌ها

در این مطالعه روش پژوهش بصورت ، تجربی و تحلیلی و به شیوه استقرایی صورت گرفته است. ابتدا فاکتورهای موثر در شکل گیری و تشید حركات دامنه ای و جریان های واریزه ای از طریق مطالعات کتابخانه ای و بررسی های میدانی و عکس های هوایی مورد ارزیابی قرار گرفتند سپس با توجه به مدل استفاده نقهه های عامل تهیه گردید. مهم ترین ابزارهای پژوهش نقشه های توپوگرافی - شبیه - زمین شناسی - کاربری اراضی - شبکه زهکشی و پوشش گیاهی است (بهنیافر - منصوری ۳۳- ۱۳۸۶) نقشه های عامل در محیط نرم افزاری (GIS) ترسیم و بر مبنای بیشترین تاثیر عوامل امتیاز بندی شده اند که تحت عنوان نقشه واحدهای کاری در متن قابل مشاهده می باشد. اساساً کار پهنه بندی به شرح زیر می باشد.

الف: ابتدا برای انتخاب هر یک از واحد های کاری از نقشه توپوگرافی - و شبکه هیدروگرافی استفاده شده است.

ب: نقشه های عامل که شامل توپوگرافی - زمین شناسی و کاربری اراضی و پوشش گیاهی و لیتوژوئی برای امتیاز دهی متغیرها مورد بهره برداری واقع شد.

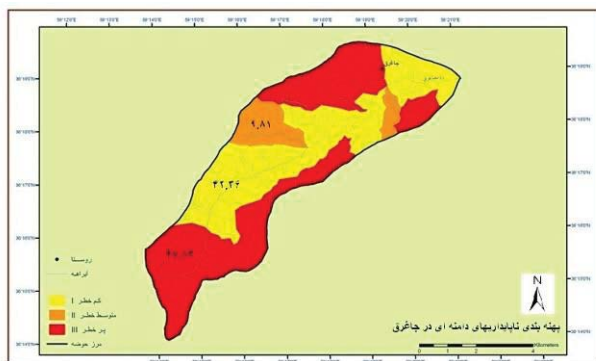
ج: وزن دهی عوامل موثر بر جریان های واریزه ای برای هر یک از واحد های کاری با در نظر گرفتن حداکثر امتیاز محاسبه شده اند.

د: در نهایت نقشه های پهنه بندی خطر وقوع جریان های واریزه ای با استفاده از فراوانی وزن ها بدست آمده است.

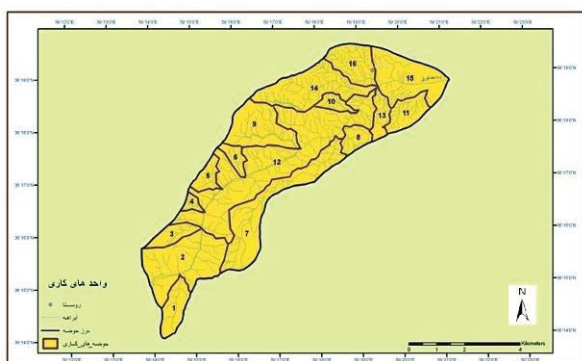
لازم به ذکر است که بانک اطلاعاتی داده ها از طریق نقشه های ۱:۵۰۰۰ و ۱:۱۰۰۰۰ به ترتیب برای جریان های سطحی - توپوگرافی و زمین شناسی در محیط نرم افزاری سیستم اطلاعات جغرافیایی^{۳۰} به صورت نقشه های عامل برای ارزیابی هر یک از شاخص های مذکور برای تهیه جدول استاندارد مورد استفاده قرار گرفته اند.

یافته های تحقیق

همان طور که می دانیم حرکت توده ای مواد، جدا شدگی و حمل و نقل رو به پائین مواد خاکی و سنگی تحت تأثیر نیروی جاذبه است، لغزش یا جریان توده ای مواد، به موقعیت آنها و نیروهای جاذبه ای وابسته است اما حرکت توده ای مواد با حضور آب، بیخ و هوا تشید می گردد. این تعریف از حرکت توده ای، امکان بررسی حرکت مواد زمین در همه مقیاس ها و همه نسبت ها را می دهد. بنابراین خرز آرام رو به پایین خاک و خرده سنگ ها و همچنین حرکت سریع و لغزش های زمین در مقیاس بزرگ و در مسافت های طولانی هر دو جزئی از حرکت توده ای مواد محسوب می شوند. (معتمد، ۱۳۷۹، ۵۵) به دلیل شبیه زیاد در دامنه های حوضه آبریز جاغرق و نیز شدت هوازدگی فیزیکی و وجود سنگ های ماتمorfیک مواد تولیدی حاصل از عملکرد هوازدگی روی دامنه زیاد می باشد و درنتیجه امکان وقوع ریزش های واریزه ای و بهمن های سنگی را فراهم آورده است. مقادیر ریزش یافته قطعات سنگی تیز و گوشیده که حاصل تخریب شیسته ها و اسلیت ها است، بسیار زیاد می باشد. معمولاً در محل هایی که آب چشممه ها یا قنوات کوچک روی دامنه انتقال یافته باشد و یا قوع رگبارهای شدید کوهستانی که منجر به خیس شدن خاک زیر قطعه سنگ ها می شود وقوع پدیده بهمن سنگریزش بیشتر خواهد بود. به ویژه در دامنه های مشرف به رودخانه اصلی که شبیه به بیش از ۶۰ درصد می رسد، پدیده ریزش قطعات سنگی بیشتر است. این ریزش های قطعه سنگی خسارات زیادی به باغات و سکونتگاه ها وارد آورده است. هم چنین حجم قطعات سنگی خرد شده روی دامنه زیاد است. طبق نتایج حاصل از پهنه بندی و هم چنین در نظر گرفتن ویژگی های زمین شناسی منطقه و جنس سنگ بستر دامنه ها بهمراه بررسی مسائل هیدرولوژیکی به لحاظ افزایش بار دبی در فصول خاص و بارش های شدید کوهستانی حوضه و نیز تغییر کاربری زمین به خصوص بر روی شبیه دامنه ها شرایط را برای وقوع هر چه بیشتر ناپایداری های دامنه ای بوپژه پدیده لغزش در سطح منطقه بوجود می آورد که لزوم برنامه ریزی جهت مقابله با این ناپایداری های کاهش خسارات احتمالی ناشی از آن ضروری به نظر می رسد. لازم به ذکر است که پس از بررسی هر یک از موارد ذکر شده در قسمت های پیشین و در نظر گرفتن امتیاز هایی که با توجه به اهمیت هر یک از پارامتر ها تعیین گردید جدول امتیاز دهی زیر تدوین گردید . جدول شماره (۴) که بیانگر نتایج امتیاز دهی می باشد.



نقشه شماره (۵) تعیین واحد های کاری برای پهنه بندی حركات دامنه ای در حوضه کوهستانی جاغرق- سازمان آب منطقه ای
نقشه شماره (۶) پهنه بندی وقوع حركات دامنه ای در حوضه کوهستانی جاغرق



نتیجه گیری

امکان بروز ناپایداریهای دامنه ای در این نواحی با توجه با تشديد کاربری زمین و استقبال عمومی از مناطق بیلاقی واقع در این نواحی و هم چنین بادرنظرداشتند جاذبه های گردشگری در کنار وجود سازند های سست وسطی خاص برخی از نواحی کوهستانی بویژه در قسمت شمال شرق کشور افزایش یافته، و تشديد این ناپایداریهای دامنه ای ممکن است منجر به مخاطرات محیطی و کاتاستروفیسیم گردد. خطراتی که همه ساله علاوه بر تحمیل خسارات مالی فراوان جان افراد را نیز با خطر مرگ مواجه می سازند. با مطالعه در زمینه ویژگی های زمین شناسی منطقه، مشخص شد که جنس سنگ بستر دامنه ها در موقع لغزش ها تا چه اندازه موثر بوده است. همان طور که قبل از گفته شد، قسمت اعظم حوضه آبریز جاغرق از واحد های سنگی شیست و فیلیت تشکیل یافته است. به طوری که این واحدها در برابر عوامل خارجی نظیر فرسایش و جریان آب مقاومت کمی داشته و به راحتی آسیب می بینند و به این ترتیب شرایط را برای بروز حرکات دامنه ای به ویژه لغزش ها فراهم می آورند، همچنین پس از بررسی مسائل هیدرولوژیکی حوضه مشخص شد که رودخانه در اوخر زمستان و اوایل بهار بیشترین دبی جریان را دارد و با توجه به این که بارش های شدید در حوضه به دلیل کوهستانی بودن آن زیاد است، شرایط برای سیلابی شدن رودخانه فراهم است که این مسئله بروز ناپایداریهای دامنه ای را تشديد می کندلذا با تغییر کاربری زمین به خصوص بر روی شیب دار و بر هم زدن شبیعی دامنه ها به منظور ساخت و ساز مکان های توریستی و تفریحی و هم چنین احداث باغات و ایجاد مناطق مسکونی شرایط را برای وقوع بیشتر حرکات دامنه ای و ناپایداریهای دامنه ای در منطقه فراهم آورده اند. براساس نتایج بدست آمده از پهنه بندی حوضه آبریز جاغرق، حوضه مورد مطالعه به سه پهنه مستعد در بروز ناپایداریهای دامنه ای (منطقه با خطر کم ۹.۸۱ درصد، منطقه با خطر متوسط ۴۲.۳۶ درصد و منطقه قابل توجه با خطر زیاد ۴۷.۸۳ درصد) تقسیم شد. با توجه به بیان موارد ذکر شده، ضرورت انجام مطالعات دقیق و ارائه برنامه ریزی اصولی برای پیشبرد اهداف در حیطه برنامه ریزی محیطی برای کاهش و حتی جلوگیری از بروز خطرات کاتاستروفیسیم احتمالی در این مناطق لازم می باشد.

منابع

- ۱- ارومیه‌ای، علی و امین‌زاده، محمدرضا (۱۳۷۷) ارزیابی خطر زمین‌لغزش در حوزه آبخیز هلیل‌رود - مجموعه مقالات در بین همایش ملی رانش زمین و راههای مقابله با خطرات آن .
- ۲- امامی، سید نعیم و الهامی، رحمت الله (۱۳۸۴) ارزیابی و اولویت‌بندی چند روش پهنه‌بندی خطر زمین‌لغزش در زاگرس مرکزی - بیست و چهارمین گردهمایی علوم زمین‌شناسی سازمان زمین‌شناسی کشور .
- ۳- بهنیافر، ابوالفضل - منصوری (۱۳۸۶) پهنه بندی ارزیابی زمین‌لغزه ها در دامنه های شمال غربی در زون بینالود - چشم انداز جغرافیایی - شماره ۵ زمستان .
- ۴- بهنیافر - ولایتی (۱۳۸۶) طرح پژوهشی اثرات لغزش‌های زمین بر سکونتگاه‌های روستایی در دامنه‌های شمالی بینالود.
- ۵- پژشکی - محمود (۱۳۸۴) عوامل ناپایداری دامنه‌ها در حوضه آبریز سد تبارک‌آباد و راهکارهای کنترل آن در مدیریت محیطی - پایان‌نامه کارشناسی ارشد.
- ۶- پور لطیفی، علی-کزارش ورقه ای نقشه زمین‌شناسی ۱:۱۰۰۰۰۰
- 7- Alcantera, Ayala (2004) Geomorphology, natural hazard vulnerability and prevention of natural disaster in developing countries.
- 8- Anbalagan, R (2004) Landslide hazard evalution and zoning mapping in mount – Ainous Terrain. Engineering Geol 36.
- 9- Thierry. Y. Malet. J-P, sterlacchini, puissant, A., Maquaire, O. (2007) Lands lid susceptibility assessment by bivariate methods at large scale .Application to a complex mountiaous environment . Geomorghology magazine xx (in the print)
- 10- Dai, f.c , Lee C,F (2002) Landslide characteristic and slop instability modeling using GIS. Lan tau island. Hong kong – Geomorghology vol – 42 , pp. 213 – 228 .

مدل‌سازی حجم رواناب و بارش موثر با استفاده از مدل‌های هیدرولوژیکی HEC-1 و OC (مطالعه موردی حوضه کسیلیان) Hydrograph

نفیسه اشتتری^۱، عارفه شعبانی عراقی^۲

^۱دانشجوی کارشناسی ارشد مخاطرات انسانی دانشگاه تهران ir.n.ashtari@ut.ac.ir

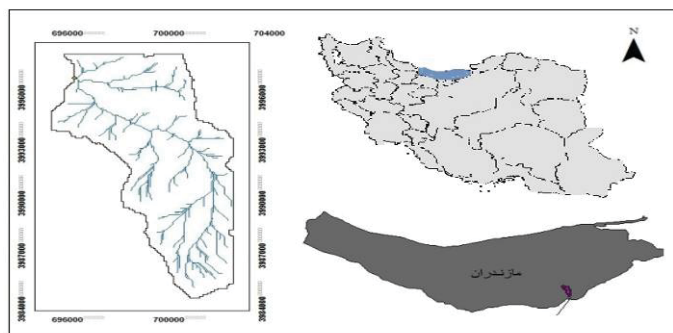
^۲کارشناسی ارشد زنومورفولوژی دانشگاه تهران a.shabani@ut.ac.ir

۱- مقدمه

باران یکی از پدیده‌های جوی است که زندگی انسان و موجودات را تحت تاثیر قرار داده و نقش مهمی را در حیات آن‌ها ایفا می‌کند (آقا رضی و دیگران، ۱۳۸۶، ۹۵). برآرد بارش رواناب و سیل به دلیل تاثیرگذاری عوامل مختلف دشوار است (جهانگیر و دیگران، ۱۳۸۷، ۷۲). تاکنون مدل‌های فراوانی برای شبیه سازی فرآیند بارش-رواناب در یک حوضه توسط محققان توسعه داده شده‌اند. با توجه به اینکه میزان رواناب یک حوضه تحت تاثیر عوامل بسیاری است، بیشتر مدل‌های بارش رواناب براساس اطلاعات مشاهداتی پیشین حوضه‌ها، فرمول بندی و با یک مدل بسط داده شدند (میر عباسی نجف‌آبادی و همکاران، ۱۳۹۰، ۴۰). اما امروزه با استفاده از مدل‌های هیدرولوژیکی در نرم افزارهای پیشرفته امکان شبیه سازی‌های دقیق را ایجاد کرده است. سیل نیز یکی از پدیده‌های ویرانگر طبیعی است که برنامه ریزی برای مهار و مدیریت سیلاب‌ها مستلزم درک صحیح و دقیق از مدل سازی باران-رواناب می‌باشد (سیدکابلی و همکاران، ۱۳۸۸، ۹۸). متغیرهای موثر در بروز سیل عبارتند از: زنومورفولوژی، هیدرولوژی، زمین شناختی، اقلیم، تپوگرافی و غیر طبیعی نظیر: عامل انسان با تغییر کاربری اراضی اطراف رودخانه‌ها، و... اشاره نمود (نصیری، ۱۳۸۴، ۱۶). برنامه ریزی و مدیریت منابع آبهای سطحی می‌تواند راهی مؤثر برای پیشگیری و کنترل سیل باشد (اسدی و دیگران، ۱۳۸۹، ۴۰). بررسی کارشناسی نشان داده که بسیاری از حوادث اخیر سیل در ایران در زمرة حوادث غیرمتربقه طبیعی نیستند و دخل و تصرف انسان سبب به وجود آوردن آن گردیده است (سرلک، ۱۳۸۳، ۳۲). کنترل سیلاب و مدیریت سیلاب دشت نیازمند تحلیل‌های WMS هیدرولیکی و هیدرولوژیکی مرتبط با سیل است. در این راستا نرم افزارهای مختلفی، جهت پیش‌بینی سیل ارائه شده است مدل‌های توانایی شبیه سازی هیدرولوگراف سیل، محاسبه پروفیل سطح آب و تهیه نقشه پهنه‌بندی سیل را دارد (اکبر پور و دیگران، ۱۳۸۷، ۲۱). در خشان (۱۳۸۹) به بررسی پتانسیل تولید رواناب و سیل خیزی در سطح حوضه آبخیز کسیلیان و ارائه نقشه پهنه‌بندی سطح حوضه از لحاظ پتانسیل سیل خیزی را انجام داد. سلیمانی و همکاران (۱۳۸۷) با روندیابی زیر حوضه‌ها در حوضه کسیلیان تا خروجی کل حوضه میزان مشارکت آن‌ها را در ایجاد سیل خروجی حوضه تعیین و زیر حوضه‌ها را از نظر سیل خیزی اولویت‌بندی نمود. صدقی و همکاران (۱۳۹۰) به بررسی ارتباط اجزای مختلف آبنگار واحد با استفاده از مولفه‌های پویای بارندگی در حوضه آبخیز کسیلیان انجام دادند. کابلی و همکاران (۱۳۸۸) به ارزیابی روش‌های تلفات، در برآرد رواناب‌های سطحی حوضه آبریز کسیلیان پرداختند. پرهمت و صدقی (۱۳۷۸) با استفاده از مدل HEC-1 به ارزیابی روش‌های هیدرولوگراف واحد کلارک و در حوضه آبریزی واقع در حوضه جنوبی زاگرس مرکزی SCS پرداختند مقایسه آبدی شبیه سازی شده و مشاهده ای در روش‌های مختلف نشان داد که روش SCS بهترین نتیجه را در برداشته است.

منطقه مورد مطالعه

حوضه معرف کسیلیان به عنوان بخشی از رودخانه تالار و با مختصات طول جغرافیایی ۱۸، ۵۳، ۳۰، ۵۳ شرقی و عرض جغرافیایی ۳۵.۵۸ تا ۳۶.۷۱ شمالی در رشته کوه‌های البرز مرکزی در استان مازندران واقع شده است. شکل ۱. حوضه کسیلیان با مساحت ۶۴۸ کیلومتر مربع به سه زیر حوضه و لیک چال، سنگده و سربند تقسیم می‌شود. بارندگی متوسط حوضه ۷۹۱ میلیمتر و متوسط دما ۱۱/۱۵ درجه سانتی گراد است (سلیمانی و همکاران، ۱۳۸۷، ۵۳). رودخانه کسیلیان یکی از شاخه‌های رودخانه تالار می‌باشد که به دریای خزر وارد می‌شود (صدقی و همکاران، ۱۳۹۰، ۴۶).



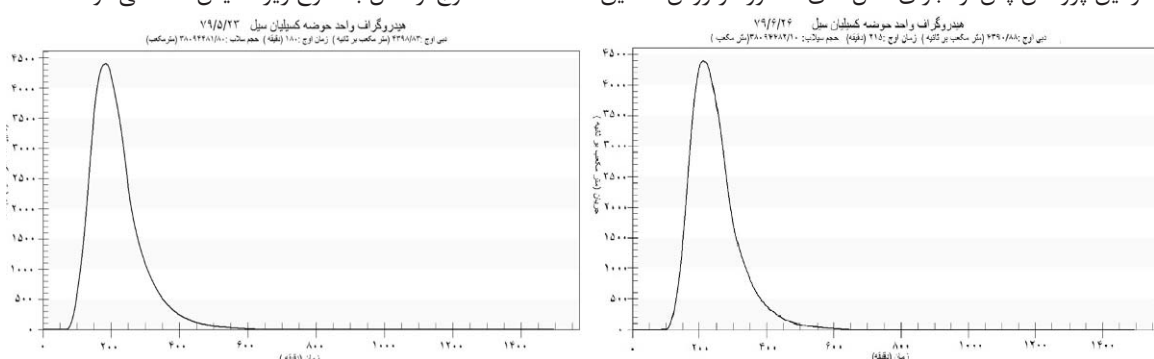
شکل ۱: موقعیت جغرافیایی حوضه کسیلیان

۱- مواد و روشها

در این پژوهش پس از مطالعات کتابخانه‌ای و بررسی آمار و اطلاعات مبانی نظری تحقیق مورد بررسی قرار گرفت . جهت انجام این پژوهش از داده‌های مدل رقومی ارتفاعی (DEM)، نقشه حوضه زهکشی و تصویرماهواره‌ای و Google Earth و آمار و اطلاعات بارشی ۲ رویداد سیل که در تاریخ‌های ۷۹/۵/۲۳ و ۷۹/۶/۲۶ اتفاق افتاده است بهره گرفته شده است. در ابتدا برای استخراج مرز حوضه آبخیز و شبکه زهکشی، نقشه فاصله از خروجی با استفاده از مدل WMS (در محیط TOPAZ) در سال ۷۹ تهیه شد. سپس با استفاده از مدل HEC-1 در محیط WMS هیدروگراف‌های واحد SCS زمان‌های تمرکز و زمان تاخیر به روش SCS استخراج شد و میزان دبی اوج، زمان اوج، حجم سیلاب نیز توسط این مدل استخراج گردید. در نهایت برای برآورد میزان بارش موثر در فرآیند رویداد سیل از مدل OC Hydrograph استفاده شد. در معرفی مدل HEC-1 باید بیان کرد این مدل در مرکز هیدرولوژیک مهندسی (HEC) تهیه شده است. این مرکز در زمینه‌های فنی از سطح و هیدرولوژی آبهای زیرزمینی، هیدرولیک رودخانه و حمل رسواب، آمار هیدرولوژیک و تجزیه و تحلیل ریسک، تجزیه و تحلیل سیستم مخزن، تجزیه و تحلیل برنامه ریزی، زمان واقعی مدیریت کنترل آب فعالیت دارد. جهت تخمین سیلاب از روی داده‌های بارندگی یا استفاده از هیدروگراف واحد است . (کوهیان افضل وهمکاران، ۹۱۳۸۹). همچنین از مدل OC Hydrograph که باید بیان داشت مدل SCS هیدروگراف برای محاسبه دبی‌های اوج و میزان تولید بارش موثر در فرآیند هیدروگراف‌های حوضه‌هایی که بیش از ۱ مایل مربع مساحت دارند در اورنج کانتی کالیفرنیا استفاده می‌شود، که ما از آن برای حوضه کسیلیان استفاده کردیم.

۲- یافته‌ها و بحث

در این پژوهش پس از اجرای مدل‌های مذکور در روش تحقیق اطلاعات مستخرج از مدل به شرح زیر نمایش داده می‌شوند:



شکل ۲: هیدروگراف واحد SCS رویداد ۷۹/۵/۲۳ سمت چپ. هیدروگراف واحد SCS رویداد ۷۹/۶/۲۶ سمت راست

زمان تاخیر به روش SCS توسط مدل WMS-HEC-1 حوضه مطابق با معادله $SCS = 1.75 \cdot hrs$ است .

جدول ۱: دبی اوج - زمان اوج - حجم سیلاب توسط مدل HEC-1

تاریخ رویداد سیلاب	دبی اوج (متر مکعب بر ثانیه)	زمان اوج (دقیقه)	حجم سیلاب (متر مکعب)
۷۹/۵/۲۳	۴۳۹/۸۳	۱۸۰	۳۸۰۹۴۴۸۱/۸۰
۷۹/۶/۲۶	۴۳۹/۰۸۸	۲۱۵	۳۸۰۹۴۴۸۲/۱۰

جدول ۲: اطلاعات هیدرو گراف شامل زمان شروع و پایان سیلاب و میزان دبی توسط مدل WMS-HEC-1

تاریخ رویداد سیلاب	زمان شروع سیلاب (دقیقه)	زمان پایان سیلاب (دقیقه)	زمان شروع سیلاب (دقیقه)	زمان دبی شروع سیلاب (متر مکعب بر ثانیه)	میزان دبی پایان سیلاب (متر مکعب بر ثانیه)
۷۹/۵/۲۳	۷۵	۶۲۰	۲۱۰۷	۰/۰۱۳	
۷۹/۶/۲۶	۸۵	۶۴۵	۰/۰۰۱	۰/۶۵۷	

جدول ۳: معادلات و مقادیر زمان تمرکز محاسبه شده در مدل WMS-HEC-1

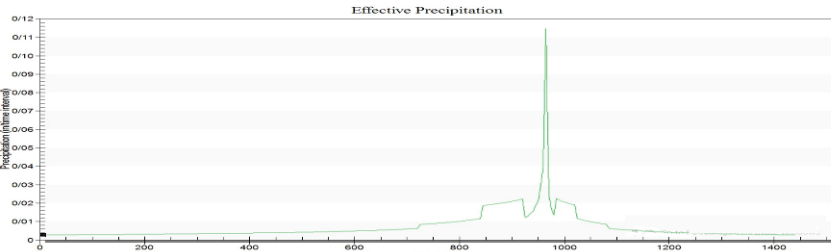
معادله	زمان تمرکز
کربیچ برای جریانات سطحی روی زمین های بدون پوشش گیاهی	۱/۲۰ ساعت
کربیچ برای جریانات سطحی روی زمین های پوشیده از چمن	۲/۵۹ ساعت
کربیچ برای جریانات سطحی روی زمین های آسفالت	۰/۲ ساعت
کربیچ برای جریانات سطحی روی زمین های بدون پوشش گیاهی (کوهستان)	۱/۵۶ ساعت
کربیچ برای جریانات سطحی روی زمین های پوشیده از چمن (کوهستان)	۲/۱۱ ساعت
کربیچ برای جریانات سطحی روی زمین های آسفالت (کوهستان)	۰/۶۲ ساعت
رامز برای جریانات کاتال	۸۳/۴۷ دقیقه
خمیدگی مرز بخش	۴۱/۳۰ ساعت
کربیچ برای جریانات سطحی	۱۰۴/۱۴ دقیقه

جدول ۴ زمان پایه

تاریخ رویداد سیل	زمان پایه
۷۹/۵/۲۳	۷/۹۸
۷۹/۶/۲۶	۹/۵۳

تحلیل هیدرو گراف واحد SCS

نتایج استخراج بارش موثر در مدل OC Hydrograph نشان می دهد که این مدل در حوضه کسیلیان به دلیل مساحت کم حوضه شبیه سازی بارش موثر بخوبی انجام شده است و نتایج با دقت بالایی را از خود نشان داده است بطوریکه مطابق با شکل ۳ تولید بارش موثر در این حوضه برای ۱۴۴۰ دقیقه شبیه سازی شده است که در دقیقه ۹۶۵ بیشترین مقدار بارش موثر ۱۱۴۷ میلی متر است.



شکل ۳: نتایج بارش موثر در مدل OC Hydrograph

۴-نتیجه گیری

نتایج دو مدل انجام شده در حوضه کسیلیان نشان می دهد که زمان تمرکز: هر چه حوضه شبیه بیشتری داشته باشد زمان تمرکز کاهش یافته و زمان رسیدن به اوج افزایش می یابد و حوضه کسیلیان هم چون یک حوضه کوهستانی و پرشیب است. زمان تمرکز کاهش یافته و زمان های رسیدن به اوج افزایش یافته است. زمان تاخیر: بر این اساس زمان تاخیر مطابق با روش SCS، hrs ۱/۷۵ است. زمان پایه: این زمان مدت زمان جریان سیل است بیشترین زمان جریان سیل برای واقعه ۷۹/۶/۲۶ است که زمان پایه ۰/۵۳ میلی متر است. زمان رسیدن به اوج: مدت زمانی که از شروع شاخه اوج هیدرو گراف تا رسیدن به اوج ادامه دارد زمان رسیدن به اوج است بیشترین زمان رسیدن به اوج ۲۱۵ دقیقه برای واقعه ۷۹/۶/۲۶ می باشد. دبی اوج: شاخصی است که اهمیت زیادی در پروژه های مهار سیلاب دارد دبی اوج در حوضه کسیلیان برای ۲ رویداد سیل دارای تغییرات ناگهانی نبوده بیشترین دبی اوج ۴۳۹۸/۸۳ متر مکعب بر ثانیه برای واقعه ۷۹/۵/۲۳ می باشد. حجم سیلاب: این حجم معادل سطح زیر هیدرو گراف منهای آب پایه است که بیشترین حجم سیلاب ۳۸۰۹۴۴۸۲/۱۰ متر مکعب برای واقعه ۷۹/۶/۲۶ است. مساحت و شکل حوضه: چون حوضه کسیلیان جز حوضه های کوچک قرار می گیرد لذا شکل هیدرو گراف های تهیه شده برای

این دسته از حوضه ها نوک تیز بوده است علاوه بر این چون شبیه آبراهه اصلی در حوضه های کوچک زیاد است باعث شده است تا شاخه خشکیدگی هیدروگراف های استخراج شده شبیه بیشتری داشته باشد و آب پایه به سرعت کاهش پیدا کند. علاوه براین شکل حوضه نیز در شکل هیدروگراف های استخراج شده موثر است چون حوضه کسیلیان جز حوضه های کشیده قرار می گیرد بنابراین شکل هیدروگراف ها حالت کشیده دارد و باعث می شود تا دبی اوج حوضه کمتر باشد و زمان تخلیه سیلاب بیشتر شود. پوشش گیاهی هنگامی که شرایط مناسبی از نظر پوشش گیاهی در حوضه وجود داشته باشد هیدروگراف حالت کشیده پیدا میکند چون حوضه کسیلیان از نظر پوشش گیاهی متراکم است هیدروگراف شکل کشیده دارد.

با توجه به مقایسه نتایج دو مدل HEC-1 و OC Hydrograph می توان گفت که چون مدل HEC برای ارزیابی ارتباط رواناب و بارش از پارامترهای بیشتر ژئومورفولوژیکی چون مساحت حوضه شکل حوضه CN حوضه و پارامترهای هیدرولوژیکی چون زمان تمرکز و زمان تاخیر استفاده می کند می تواند ارزیابی دقیق تری از هیدروگراف حوضه در زمان وقوع سیلاب داشته باشد. همچنین نتایج استخراج بارش موثر در مدل OC Hydrograph نشان می دهد که این مدل در حوضه های کوچک کارایی بهتری برای شبیه سازی دارد و با توجه به نقشی که در فرآیند تولید بارش موثر در هیدروگراف حوضه در زمان وقوع سیلاب دارد می تواند نقش مکملی برای مدل HEC-1 داشته باشد.

۵-مراجع

- آقارضی، حشمت الله. تلویری، عبد الرسول ودادی راد، علی اکبر. ترسیم منحنی های عمق- مساحت و تداوم بارش در استان مرکزی، مجله پژوهش و سازندگی در منابع طبیعی، شماره ۷۴. (۱۳۸۶).
- اسدی، هانیه . مرادی، حمیدرضا. تلویری، عبدالرسول وصادقی، سید حمیدرضا. ارزیابی روشهای تخمین ضربی ذخیره آب نمود واحد لحظه ای کلارک در شبیه سازی آب نمود واحد سیل، مجله علوم و فنون کشاورزی و منابع طبیعی علوم آب و خاک، شماره ۵۳. (۱۳۸۹).
- اکبر پور، ابوالفضل. کبار فرد، محمد و عنایی، فهیمه. سیستم مدل سازی حوضه آبریز، انتشارات سخن گستر، (۱۳۸۷).
- پرهمت، ج. صدقی، ح. واسنجی و ارزیابی مدل HEC-1 در زیر حوضه بازفت در کارون، اولین همایش منطقه ای بیلان آب، اهواز، صص ۱۴۳-۱۴۳. (۱۳۷۸).
- جهانگیر، علیرضا. رائینی، محمود و ضیا احمدی، میرخالق. شبیه سازی فرآیند بارش-رواناب با شبکه عصبی مصنوعی(ANN) مقایسه با مدل HEC-HMS در حوضه معرف کارده، مجله آب و خاک(علوم و صنایع کشاورزی)، جلد ۲۲، شماره ۲. (۱۳۸۷).
- درخشان، شهرام. غلامی، وحید و تقوی سلیمی، ادريس. ، شبیه سازی رفتار هیدرولیکی رودخانه های گوهررود و سیاه رود با HEC-RAS سیستم اطلاعات جغرافیایی و مدل هیدرولیکی، نشریه تحقیقات کاربردی علوم جغرافیایی، جلد ۱۶، صص ۱۳۸۹.
- سرلک، ع ، پیش بینی تأثیرات اقدامات آبخیزداری در کاهش سیلاب در حوزه مادرسو استان گلستان، مجموعه مقالات سمینار کاهش اثرات و پیشگیری از سیل، و ۲۶ دی ماه گرگان، (۱۳۸۱).
- سلیمانی، کریم. بشیر گنبد، محمد. موسوی، سید رضان و خلیقی، شهرام. ، پتانسیل تولید سیل در حوضه های آبخیز با استفاده از مدل HEC HMS در محیط سامانه اطلاعات جغرافیایی(مطالعه موردی حوضه آبخیز کسیلیان)، پژوهش های جغرافیای طبیعی، شماره ۶۵، صص ۵۱-۶۰. (۱۳۸۷).
- سید کابلی، حسام و آخوند علی، علی محمد. ارزیابی روش های تلفات باران در شبیه سازی هیدروگراف سیل (مطالعه موردی : حوضه آبریز کسیلیان)، نشریه آب و خاک (علوم و صنایع کشاورزی)، جلد ۲۲، (۱۳۸۸).
- صادقی، ح. ، بررسی علل موثر در سیلاب و ارزیابی عوامل قابل کنترل، مجله جنگل و مرتع ، شماره ۲۶. (۱۳۷۴).
- کوهیان افضل، فرشاد و قلخانی، حسین. راهنمای کاربردی شبیه سازی رواناب با استفاده از مدل HEC-HMS. (۱۳۸۹).
- میرعباسی نجف آبادی، رسول. دین پژوه، یعقوب. فاخری فرد، احمد. ، مدل سازی بارش رواناب با استفاده از اصل ماکریم آنتروپی مطالعه موردی : حوضه کسیلیان، مجله علوم و فنون کشاورزی و منابع طبیعی، علوم آب و خاک، سال پانزدهم، شماره ۵۸. (۱۳۹۰).
- نصیری، علی. آنالیز روابط متغیرهای ژئومورفولوژی -هیدرولوژی در مدل سازی برآورد سیل (مطالعه موردی حوضه آبخیز امامه) ، رساله دکتری ژئومورفولوژی با راهنمایی دکتر مجتبی یمانی، دانشکده جغرافیا، دانشگاه تهران، (۱۳۸۴).

بررسی نظریه آشوب در پایش تغییرات رئومورفولوژیک تپه‌های ساحلی با استفاده از الگوریتم فرسایش، انتقال و رسوب‌گذاری

^۱ سحر حافظی، ^{۲*} هیوا علمی زاده، ^۳ امید ماه پیکر

^۱ دانشجوی کارشناسی محیط زیست، دانشگاه علوم و فنون دریایی خرمشهر، sahar_hafezi67@yahoo.com

^۲* استادیار دانشگاه علوم و فنون دریایی خرمشهر، heeva_1035@yahoo.com

^۳ دانشجوی کارشناسی ارشد فیزیک دریا، دانشگاه علوم و فنون دریایی خرمشهر، omidd8@gmail.com

مقدمه

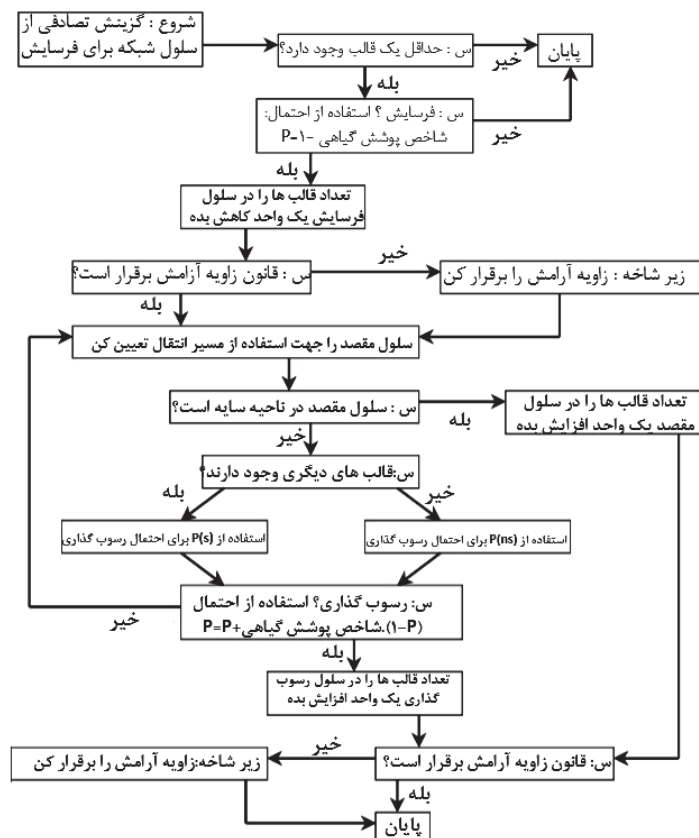
از دیدگاه رئومورفولوژی سیستمی، برخی سیستم‌های دینامیکی پیچیده‌ی غیرخطی هستند که رفتار آشوبناک، تصادفی و غیرقابل پیش‌بینی دارند. نظریه‌ی آشوب به درک، تحلیل و پیش‌بینی پذیری سیستم‌های رئومورفیک کمک می‌کند و سعی دارد این سیستم‌های غیرخطی و بسیار حساس به شرایط اولیه را مورد مطالعه قرار دهد. سیستم‌های رئومورفیک در عین حال خود سازمانده بوده و حالت فراکتال (برخال) دارند. این ویژگی را می‌توان در بسیاری از سیستم‌های جریانی، حرکت‌های توده‌ای، سیستم خاک و زمین‌های مرتبط ساحلی مشاهده کرد. با استفاده از نظریه‌ی آشوب می‌توان بین فرم (بعد فراکتال) و فرایند (خودسازماندهی) در پدیده‌های رئومورفولوژیک روابطی را برقرار کرد (حافظی، ۱۳۹۱). سیستم‌های ساحلی می‌تواند به عنوان سیستم‌های انتشار پیچیده مثل انرژی باد و امواج که در مناطق ساحلی منتشر می‌شود و همچنین برهمنکش بین مورفولوژی، انتقال رسوب و دینامیک سیالات که به شدت غیرخطی هستند، تقسیم‌بندی شود (Southgate and Moller, 2000). پاسخ مورفودینامیک در مناطق بندری تحت تأثیر نیروهای ناشی از شکست امواج است، در حالی که مناطق ساحلی بلند و مناطق تپه‌ای نیروهای خارجی توسط امواج را کمتر تجربه می‌کنند. در نواحی دورتر خودسازمانده بودن پروفیل به مراتب غالب تر است. سیستم‌های دینامیکی غیرخطی با تعریف مقاهیمی چون آشوب، فرکتال و خودسازمانده در همه علوم فیزیکی و انسانی پیشرفت چشمگیری داشته است. بر طبق مدل‌های عددی سیستم‌های هواشناسی جهانی، تغییرات اندکی در شرایط اولیه، حالت نهایی را به شدت تغییر می‌دهد. این وابستگی شدید به شرایط اولیه، توسط سیستم‌های شامل ضرایب غیرخطی ارائه می‌شود، به ویژه وقتی که به سیستم نیرو وارد شود. یک سیستم وقتی گفته می‌شود تحت تأثیر نیروست که دینامیک داخلی آن به وسیله انرژی ناگهانی از خارج به حرکت در آید (مثل انرژی خورشید که به سیستم جهان می‌رسد) و یک سیستم وقتی تحلیل می‌رود که انرژی مؤثر (در قالب جملاتی با توانایی انجام کار) به شکل غیرقابل استفاده تبدیل شود (عدمتاً به شکل اصطکاک). وابستگی شدید به موقعیت اولیه فقط در سیستم‌های پیچیده قابل مشاهده نیست، بلکه حتی در ساده‌ترین معادلات منطقی در زیست‌شناسی انسانی کاربرد دارد.

درون ناحیه آشوب، نواحی با حالت نوسانی ثابت قابل تشخیص هستند و این نواحی پایدار روی هر مقیاس ممکن از دیاگرام ظاهر می‌شوند. این نواحی که به صورت تکراری ظاهر می‌شوند فرکتال نام دارند. تکامل یک سیستم دینامیکی با گذشت زمان می‌تواند به وسیله ردبایی مقادیر لحظه‌ای n حالت مختلف در فضای n بعدی مشاهده شود (یعنی فضای فاز). یک سیستم در حالت ثابت به صورت نقطه‌ای در فضای فاز ظاهر خواهد شد، در صورتی که یک نوسانگر پایدار یک حلقه بسته را در فضای فاز ترسیم می‌کند. نقطه و حلقه بسته برای سیستم‌های متناظر هردو جاذب هستند یعنی سیستم صرفنظر از بازه شرایط مرزی و آشفتگی، به سمت این حالات توسعه پیدا می‌کند (Andreas, 2002). یک نوسانگر که تحت تأثیر نیروست و میرابی دارد (برای مثال یک پاندول در حال حرکت با وجود اصطکاک) ممکن است در یک فضای فاز دو بعدی باشد که در این صورت تحت تأثیر متغیرهای مکان زاویه‌ای و سرعت است. نوسانگر میرا، به دور نقطه‌ی جاذب می‌چرخد که سرانجام در آن متوقف می‌شود. درحالی که تحت نسبتی از نیرو و میرابی، سیستم نوسانی در فضای فاز خارج از حلقه بسته ظاهر می‌شود. در این راستا این سیستم غیرخطی تحت موقعیت‌هایی رفتار تصادفی را نشان می‌دهد و به عنوان فرکتال در فضای فاز ردبایی می‌شود. این فرکتال یک ریاضی برای سیستم در فضای فاز است. فرکتال‌ها می‌توانند مصادیق زمانی، مکانی و یا فضای فازی از آشوب در سیستم‌های دینامیک غیرخطی باشند.

مواد و روشها

مدل شبیه‌سازی بر پایه الگوریتم فرسایش، انتقال و رسوب‌گذاری در در تپه‌های ساحلی مورد استفاده قرار می‌گیرد. قانون کلی این الگوریتم بدین گونه است که مقداری ماسه در طول یک سطح شبیه‌سازی شده به طرز تصادفی منتقل می‌شوند، یعنی فرآیندهای فرسایش، انتقال و رسوب‌گذاری

به صورت تصادفی تعیین می‌شوند (Momiji, 2000). مدل از شبکه‌های سلولی مربعی تشکیل شده است که حاوی ماسه هستند و ارتفاع این شبکه‌ها بر اساس توپوگرافی تعیین می‌شود و فرآیند انتقال ماسه‌ها بر اساس حرکت متواالی قالب‌ها در امتداد شبکه‌ها شبیه‌سازی شده است. شبیه‌سازی انتقال ماسه با گزینش تصادفی از سلول‌های شبکه تحت حالت فرسایش آغاز می‌شود و اگر سلول شبکه محتوى ماسه باشد، قالب بالایی جهت انتقال به سمت بالا حرکت می‌کند. طبق مدل در صورتی فرسایش به لایه پایین تر می‌رسد که امکان فرسایش بیشتر در لایه سطح آن وجود نداشته باشد. بعد از فرسایش، قالب در طول مسیر انتقال، L ، به سمت موقعیت جدید روى شبکه حرکت می‌کند (شکل ۱). این مسیر انتقال مناسب با جهت باد است و سلول شبکه‌ای که برای رسوب‌گذاری ماسه انتخاب می‌شود، به طور تصادفی تعیین می‌شود. اگر سلول شبکه برای رسوب‌گذاری اختبار شود، تراکم در آن سلول افزایش می‌باید، و اگر سلول شبکه انتخاب نشود، قالب مسیر انتقال را ادامه می‌دهد تا در مکان جدیدی رسوب‌گذاری کند. این فرآیند آن قدر تکرار می‌شود تا قالب نهایتاً رسوب‌گذاری کند. در این الگوریتم فرآیندهای فرسایش و رسوب‌گذاری به طور تصادفی تعیین می‌شوند و مسیر انتقال توسط یک بردار با مؤلفه‌های X و Y شکل می‌گیرد که در ابتدای شبیه‌سازی، این بردار مناسب با نیروهای موجود و جهت باد تعیین می‌شود. فرآیند فرسایش توسط احتمال فرسایش در هر سلول شبکه تعیین می‌شود. در الگوریتم اصلی این احتمال برابر با یک است یعنی همه سلول‌ها برای فرسایش انتخاب و منتقل می‌شوند. فرآیند رسوب‌گذاری نیز توسط احتمال رسوب‌گذاری یعنی P کنترل می‌شود. بر این اساس اگر سلولی محتوى ماسه باشد، P و اگر محتوى ماسه نباشد P_{ns} است.



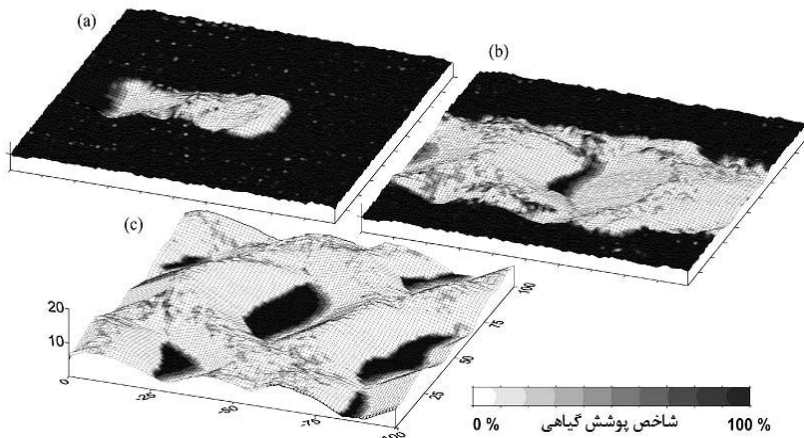
شکل ۱: الگوریتم فرسایش، انتقال و رسوب‌گذاری تحت تأثیر پوشش گیاهی

در این مدل محدودیت ناحیه سایه وجود دارد. این ناحیه سطحی است که در آن اثر جریان باد برای انتقال ماسه خیلی ناچیز است. در این مدل این ناحیه متناسب است با زوایه‌ای که بالاترین نقطه تپه با افق می‌سازد که ۱۵ درجه در نظر گرفته شده است (β زاویه ناحیه سایه است). در این ناحیه احتمال فرسایش صفر و احتمال رسوب‌گذاری یک است. فروزش برای برقراری زاویه آرامش تعیینه شده است که غالباً برابر با زاویه ۳۳ درجه نسبت به افق است. بعد از اضافه شدن یک قالب، مدل این زاویه را بررسی می‌کند که برقرار است یا خیر. در صورتی که این زاویه برقرار نباشد قالب به سلول مجاور و پایین تر منتقل می‌شود و به همین ترتیب شیبی ایجاد می‌شود که اجازه ندهد این زاویه از ۳۳ درجه تجاوز کند. برای در نظر گرفتن پوشش گیاهی در مدل باید اندکی اصلاحات صورت گیرد و الگوریتم جدید مجدداً تعریف شود. هر سلول شبکه اکنون شامل دو متغیر است: ۱- تعداد

قالب‌های ماسه در موقعیت مورد نظر و ۲- متغیری که تأثیر پوشش گیاهی بر فرآیندهای فرسایش و رسوب‌گذاری در آن موقعیت توصیف کند. این متغیر به عنوان FAI^{۳۱} تعریف می‌شود و مقداری بین صفر تا یک را دارد (با می‌تواند بین صفر تا ۱۰۰٪ داشته باشد). این شاخص فرآیندهای فرسایش و رسوب‌گذاری را دست‌خوش تغییر قرار می‌دهد، ولی بر روی مسیر انتقال اثر ندارد. شاخص احتمال، فرسایش را بدین صورت تغییر می‌دهد: در صورتی که ۱۰۰٪ باشد احتمال فرسایش صفر و در صورتی که صفر باشد احتمال فرسایش یک است و این تغییرات به صورت خطی است. فرآیند رسوب‌گذاری نیز به این صورت خطی است ولی از P_{ns} یا P_s شروع می‌شود و در جایی که شاخص ۱۰۰٪ باشد این احتمال به یک می‌رسد. این شبیه‌سازی تقریبی به خوبی تأثیر پوشش گیاهی را در اختلاف سرعت لازم برای شروع و تداوم فرآیند انتقال نشان می‌دهد. اگرچه روابط دقیق پیچیده و اکثراً غیرخطی است، اما این فرضیه ساده که برای اثر پوشش گیاهی توضیح داده شد برای سازگاری با مدل انتقال ماسه در الگوریتم اولیه انتخاب شده است و در آن پوشش گیاهی حالت ثابتی در چشم‌اندازها ندارد. چرخه پوشش گیاهی که در الگوریتم بیان شد ارتباط بین مقیاس زمانی و مکانی را برقرار می‌کند (تعادل فرسایش/رسوب‌گذاری) به عنوان نتیجه، مسیر انتقال و توابع رشد باید به صورت مشخصه‌ای از اندازه سلول و ارتفاع قالب تفسیر شوند و بدین ترتیب تغییرناپذیری مدل از بین می‌رود. با اضافه شدن توصیفات بالا به الگوریتم مدل در شکل زیر برای یک چرخه فرسایش، انتقال و رسوب‌گذاری نمایش داده شده است (شکل ۱).

یافته‌ها و بحث

در الگوریتم شبیه‌سازی، بر هم کنش سلول‌های مجاور با استفاده از قواعد ریاضی و فیزیک شبیه‌سازی می‌شود. در شکل ۲ گسترش چشم‌انداز تپه‌های ساحلی شامل یک پوشش گیاهی دینامیک تحت بیشترین حالت انتقال ماسه نشان داده شده است (شکل ۲). مقادیر روشن در شکل اختلاف اثر پوشش گیاهی را در چشم‌انداز نشان می‌دهد. سطح پوشیده از گیاه اولیه به سرعت در سراسر منطقه مدل فعال و یک چشم‌انداز پیچیده را توسعه می‌دهد که در آن توپوگرافی از حالت تپه‌ای گرد طی یک مرحله با تپه‌های هلالی، کم و بیش به سمت تپه‌های عرضی تغییر فرم می‌دهد. در حالی که پوشش گیاهی بالای تپه‌های گرد را در مراحل اولیه اشغال می‌کند، در حالت نهایی به سطوح شیب‌دار محدود می‌شود و نقشی در ثابت شدن گسترش اطراف تپه‌ها ایفا نمی‌کند و فرآیند طوری کنترل می‌شود که گسترش تپه‌ها سهمی شکل باشد (Andreas, 2002). پوشش گیاهی دینامیکی قابلیت محدود کردن گسترش تپه‌ها را برای تپه‌های اولیه بدون پوشش گیاهی ندارد؛ در عوض، کل سطوح مدل به سرعت به چشم‌انداز تپه‌ای تبدیل می‌شوند. شبیه‌سازی‌های دیگری با استفاده از مقادیر مختلف انتقال ماسه و توابع رشد با اختلاف کوچکی در خطا تولید شده که انواع چشم‌اندازهای تپه‌ای را در بر می‌گیرد.



شکل ۲: نحوه شکل‌گیری تپه‌های ساحلی به ترتیب طی ۱۰، ۲۰ و ۵۰ سال در یک شبکه با ابعاد افقی و عمودی ۱۰۰ سلول و اثر پوشش گیاهی بر آن‌ها با استفاده از پوشش گیاهی پایدار و موقعیت‌های انتقال ماسه، شکل حالت سهمی شدیدتری به خود می‌گیرد و گسترش تپه‌های اولیه تحت رژیم باد غالب محدودتر می‌شود (در شکل 2a نشان داده شده است). پیشروی همزمان به سمت مرز در جهت باد نیز به وضوح قابل دیدن است. با این حال، برای توسعه پیشروی و ساختار اصلی تپه از طریق سطح مدل جابجا می‌شود، و گسترش تپه از طرفین توسط پوشش گیاهی محدود نمی‌شود. در عوض، تپه در سراسر منطقه مدل گسترش می‌باید و سرانجام، پوشش گیاهی به درون دره تپه (شکل 2b, c) محدود شده است. در این

^{۳۱} frontal area index

الگوریتم، به موقعیت انتقال ماسه و پوشش گیاهی تاکید شده و در بعضی موارد رفتارهای تصادفی ظاهر می‌شود، یعنی تغییرات کوچکی در شرایط اولیه، تغییرات شدیدی را در الگوهای پوشش گیاهی و مورفولوژی ایجاد می‌کند.

نتیجه گیری

الگوریتم شبیه‌سازی چند مورد را تبیین می‌کند: اولاً حضور بیش از یک گونه گیاهی در هر سلول شبکه باید تطبیق داده شود، بنابراین دو تابع رشد پایدار و دینامیکی با دینامیک‌های انتقال به طور همزمان عمل می‌کنند. در این مدل در صورتی که هر دو تابع رشد دینامیکی و پایدار بطور همزمان در مدل سازی لحاظ شوند، شبیه‌سازی نواحی هموار نسبتاً پایدار که فاقد هرگونه پوشش گیاهی است به وسیله پوشش گیاهی پایدار اشغال می‌شوند. در نتیجه تکه‌های به هم پیوسته از الگوهای پوشش گیاهی و مورفولوژی به دست خواهد آمد. دوماً، این مدل از نظر عامل سرعت باد روی شبکهای مختلف، توسعه دقیق‌تر پروفیل سطح مقطع از مورفولوژی تپه‌ها را فراهم می‌آورد. هدف مهم دیگر در آینده باید توسعه مناسب متغیرهای فضایی فاز برای مقادیر ممکن چشم‌اندازهای رباشگر باشد به طوری که مشخصات مورفولوژی و پوشش گیاهی را ترکیب کند. به طور کلی بهره گیری از الگوریتم شبیه‌سازی و نظریه آشوب در مطالعه سیستم‌های ساحلی می‌تواند در پایش تغییرات ژئومورفیک تپه‌های ساحلی، واقعیت‌های موجود و انکشاف قانونمندی‌های حاکم بر آن‌ها، موثر واقع گردد و معیارهای کمی را برای سنجش شاخص‌های مدیریتی در پایش تغییرات فراهم آورد.

مراجع

- حافظی، سحر، نظریه کیاس و فراکتال در علوم محیطی، پایان نامه کارشناسی محیط زیست، دانشگاه علوم و فنون دریایی خرمشهر، ۱۳۹۱، ۶۷.
- کرم، امیر. نظریه‌ی آشوب- فراکتال(برخال) و سیستم‌های غیرخطی در ژئومورفولوژی. فصل نامه جغرافیای طبیعی. سال ۳. شماره ۸. ۱۳۸۹.
- 3-Andreas, Baas , **Chaos, fractals and self-organization in coastal geomorphology: simulating dune landscapes in vegetated environments**, Geomorphology 48, 309–328, 2002.
- 4- Cai-Wan Chang-Jian, Chao-Kuang Chen, Chaos and bifurcation of a flexible rotor supported by porous squeeze couple stress fluid film journal bearings with non-linear suspension, Chaos, Solitons & Fractals, Volume 35, Issue 2, pp 358-375, 2008.
- 5- Magnitskii. N.A, **Universal Theory of Dynamical Chaos in Nonlinear Dissipative systems of differential equations**, Communications in Nonlinear Science and Numerical Simulation, Volume 13, Issue 2, pp 416-433, 2008.
- 6- Meresse, S, et.al., **Formation and evolution of the chaotic terrains by subsidence and magmatism: Hydraotes Chaos**, Mars, Icarus, Volume 194, Issue 2, pp 487-500, 2008.
- 7- Momiji, H., Carretero-Gonzalez, R., Bishop, S.R., Warren, A, **Simulation of the effect of wind speedup in the formation of transverse dune fields**. Earth Surface Processes and Landforms, 25, 905–918, 2000.
- 8- Southgate, H.N., Moller, I., **Fractal properties of coastal profile evolution at Duck, North Carolina**. Journal of Geophysical Research 105, 11489– 11507. 2000.
- 9- Zelinka,I, **Real-time deterministic chaos control by means of selected evolutionary techniques**, Engineering Applications of Artificial Intelligence, Volume 22, Issue 2, pp 283-297, 2009.

نقش آبدهی رودهای حوضه آبریز دریای خزر بر نوسان سطح تراز آب دریای خزر

محمد رضا یوسفی روشن

دکترای زنومورفولوژی و مدرس دانشگاه فرهنگیان پردیس دکتر شریعتی ساری

۱- مقدمه

آب دریای خزر در دوره های مختلف زمانی نوسان داشته است اعلت اصلی کاهش تراز آب دریای خزر در سالهای فوق کاهش شدید ورودی آب رودخانه ای و قبل از همه ولگا بوده که به شرایط اقلیمی و نیز به فعالیت اقتصادی مردم حوضه خزر وابسته بوده است. دوره ی بودن نوسانات درازمدت خزر به تأیید بسیاری از محققان رسیده است. از سال ۱۷۰۰ بر حسب اطلاعات تاریخی واز سال ۱۸۳۰ بر حسب اطلاعات ثبت ابزاری، ایستگاه تراز سنجی باکو، نوسانات تراز دریا در دامنه ۴ متر تعیین گردید.

حدوده موردمطالعه رودهای حوضه آبریز دریای خزر می باشد که مساحت حوضه آبریز دریای خزر $\frac{3}{5}$ میلیون کیلومترمربع است که ۹۰ درصد آن در کشور روسیه و دیگر کشورهای منشعب از شوری سابق و ماقبلی در کشورهای ایران و ترکیه واقع شده است. هدف این تحقیق بررسی میزان آبدهی رودهای حوضه آبریز دریای خزر بر نوسانات آب دریای خزر می باشد. در نهایت درصد آبدهی و مولفه های بیلان آب هریک از رودها در نوسان آب دریای خزر مشخص و مورد تجزیه و تحلیل می گردد.

۲- مواد و روش ها

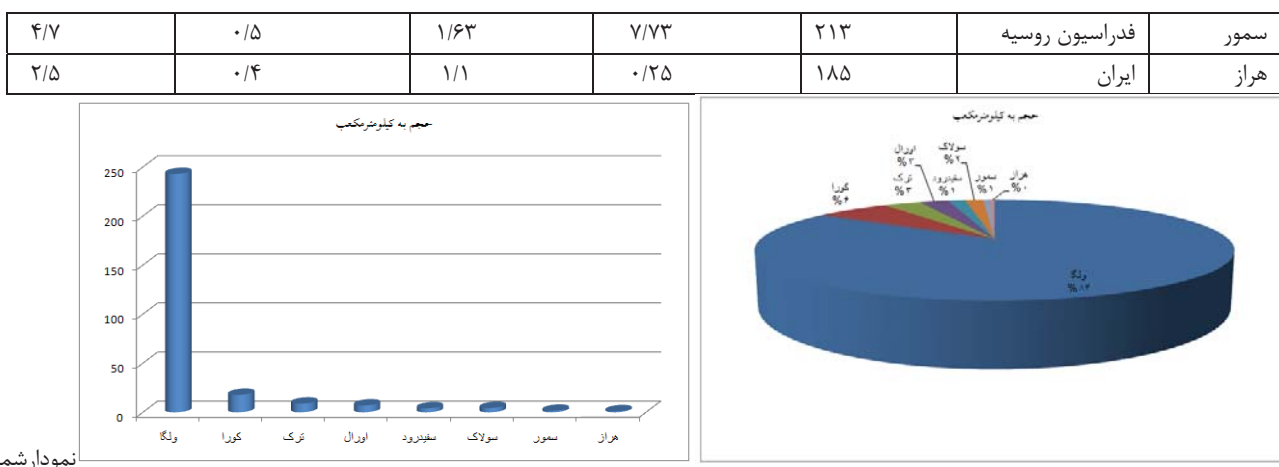
جهت تحلیل نوسان سطح تراز آب دریای خزر از آمار ایستگاه تراز سنجی باکو در کشور آذربایجان، بندر انزلی وایستگاه نوشهر استفاده گردید. جهت تحلیل میزان آبدهی رودها آمار دبی رودهای حوضه آبریز دریای خزر در خاک ایران از آمار ایستگاه های وزارت نیرو، شرکت مدیریت منابع آب کشور استفاده گردید. وهمچنین آمار دبی رودهای ولگا، کورا، ترک، اورال، سولاک و سمور مورداستفاده قرار گرفت و نقش آبدهی رودها ای حوضه آبریز در نوسان آب دریای خزر مورد تجزیه و تحلیل قرار گرفت.

۳- یافته ها و بحث ها

بیش از ۱۳۰ رودخانه کوچک و بزرگ به دریای خزر می ریزد که رودخانه های بزرگ عمدتاً در سواحل شمالی و رودخانه های کوچک در سواحل باختری و جنوبی پراکنده اند. رودخانه ولگا بزرگترین رودخانه حوضه آبریز دریای خزر است و به تنهایی حدود ۸۰ درصد آب ورودی به دریا راتامین می کند. در ساحل ایران رودخانه سفید رود با میانگین آبدهی 4 km^3 مکعب در سال بزرگترین رودخانه محسوب می شود. رودخانه هایی که به خزر شمالی می ریزند حدود ۸۵ درصد آبدهی رودخانه ای به دریا را تامین می کنند. در حالی که رودخانه های منتهی به خزر جنوبی حدود ۶۰ درصد بار رسوبی رودخانه ای را وارد دریای خزر می کنند. به علت گذر رودخانه های حوضه جنوبی خزر از کوهستان های پرشیب و با پوشش گیاهی کم، میزان رسوب دهی این رودخانه بیشتر است. مساحت حوضه آبریز دریای خزر $\frac{3}{5}$ میلیون کیلومتر مربع است (نقشه ای شماره ۱) که 90% آن در روسیه و دیگر کشورهای ساحلی منشعب از شوری سابق قرار دارد و بقیه در ایران واندکی نیز در ترکیه واقع است (علیزاده کنک لاهیجانی ۱۳۸۳، ۲۲). با توجه به نمودار شماره ۱ بالاترین درصد آبدهی رودها مربوط به رودخانه ولگا با 84% نمی باشد، به طوری که چهار رودخانه شامل ولگا، ترک، سولاک و سمور که از خاک کشور روسیه سرچشمه می گیرند و وارد دریای خزر می شوند، 90% آب ورودی دریای خزر را تامین می کنند. پس رودهایی که از خاک روسیه سرچشمه می گیرند نقش مهمی در نوسانات تراز آب دریای خزر دارد به طوری هر وقت میزان بارش در حوضه آبگیر رودها افزایش یابد باعث افزایش تراز آب دریا خزر شده است. وهر وقت میزان آب ورودی کاهش پیدا کرد نقش مهمی در کاهش سطح تراز آب دریای خزر داشته است.

جدول شماره ۱ مشخصات رودخانه های بزرگ دریای خزر (علیزاده کنک لاهیجانی ۱۳۸۳، ۲۲)

نام رودخانه	نام کشور ساحلی	طول رودخانه km	مساحت حوضه آبریز هزار کیلومترمربع	آبدهی دریا Km ³	درصد نسبت به دبی کل رودخانه های خزر	میزان رسوب M ^{ton} سالانه
ولگا	فراسیون روسیه	۳۶۹۰	۱۴۰۰	۲۴۳	۸۰	۱۴
کورا	جمهوری آذربایجان	۱۳۶۰	۱۸۸	۱۷/۸	۶	۳۹/۷
ترک	فراسیون روسیه	۶۲۳	۴۳/۲	۸/۹	۳	۱۵/۱
اورال	قزاقستان	۲۴۳۰	۲۳۷	۷	۲	۲/۷
ایران		۸۰۰	۶۷	۴/۱	۱/۵	۳۰
سولاک	فراسیون روسیه	۱۶۹	۱۵/۲	۴/۴	۱/۵	۱۳/۲



ر ۱ آبدهی رود ولگا و ۷ رود دیگر و درصد آبدهی رودهای مهم حوضه آبریز دریای خزر

رودخانه ولگا بزرگترین رودخانه بخش اروپایی روسیه است. این رودخانه از ارتفاعات والداني سرچشمه گرفته و طول کلی آن ۳۵۳۱ کیلومتر می باشد. آب رودخانه ولگا، ۶۰ درصد آب برفی، ۳۰ درصد آب زیرزمینی و ۱۰ درصد آب باران تشکیل شده است (شمسي و همکاران، ۱۳۸۹، ۶).



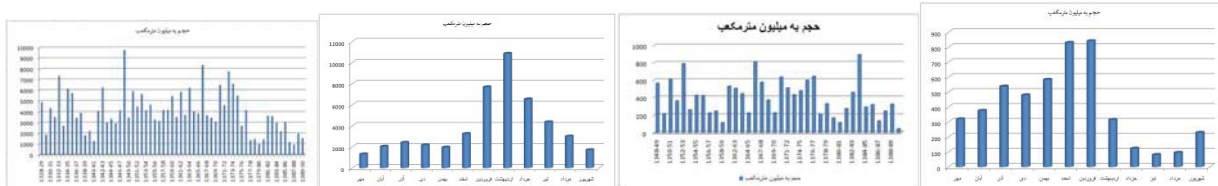
تصویرشماره ۱ دلتای ولگا نقشه‌ی احوضه آبریز دریای خزر(قانقرمه، ملک، ۱۳۹۱، ۸۶) نوسان تراز آب دریای خزر ۱۳۹۱-۲۰۱۳ میلادی

متوسط دبی رودخانه ولگا در دوره آماری ۱۹۳۸-۲۰۱۱ میلادی ۲۳۹/۶۱ کیلومترمکعب بوده است. بالاترین آبدهی در سال ۱۹۹۴ میلادی ۳۳۳/۱۸ کیلومترمکعب بوده است، این دبی تقریباً با بالاترین تراز دریای خزر در طی ۱۰۰ سال گذشته هم‌زمان است همچنین پائین ترین مقدار رودخانه نیز در سال ۱۹۷۵ میلادی ۱۶۶/۰۹ کیلومترمکعب تقریباً با پائین ترین تراز آب دریا هم‌زمان است. روند کلی آبدهی رود ولگا در طی این دوره آماری از یک روند افزایشی برخوردار است، اما مشخص می‌گردد از سال ۱۹۹۹ تاکنون روند آبدهی رودخانه ولگا با روند کاهشی تراز آب هم‌زمان می باشد، اما این کاهش بخصوص از سال ۲۰۰۶ به بعد بدون وقفه ادامه دارد که دلیل آن وقوع خشکسالی در منطقه بوده است. (قانقرمه، ملک، ۱۳۹۱، ۸۷) از آنجاکه که بیشترین میزان آبهای ورودی به دریای خزر به رودخانه ولگا اختصاص دارد، بنابراین مشخص می‌گردد نوسانات تراز آب دریای خزر تابعی از ورودی این رودخانه است. وهمچنین ۶۰ درصد آب رود ولگا از ذوب برف‌ها تأمین می‌شود که هم‌زمان با بالاترین تراز آب دریای خزر در طول یک سال که در فصل تابستان می باشد.

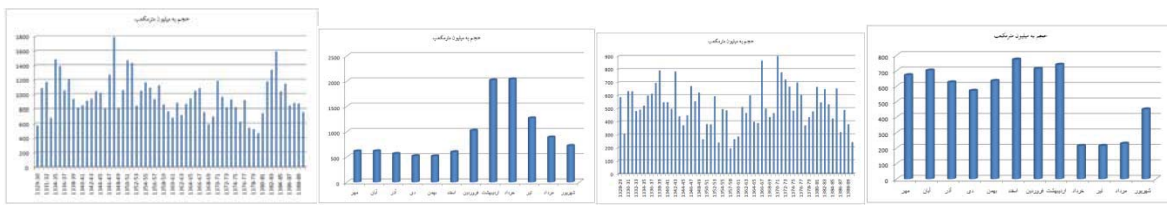
۱-آبدهی رودخانه‌های ایران

سواحل جنوبی دریای خزر از جمله مرطوب ترین و پربارش ترین سواحل دریای خزر می‌باشد که رودخانه‌های متعددی از این بخش وارد دریای خزر می‌شوند که از جمله مهمترین آنها سفیدرود، تجن، هزار، بابلرود، گرگانرود، پلرود، تالار، نکا و چالوس رانام برد. بطور کلی حجم آبدهی این رودخانه‌ها در حدود ۳/۵ درصد از ورودی رودخانه‌های کل خزر را به خود اختصاص می‌دهند. در نمودار شماره ۳ دبی رودخانه سفیدرود از دوره آماری سال آبی ۱۳۲۸-۲۹ تا ۱۳۸۹-۹۰ به مدت ۶۱ سال استفاده گردیده است. در این مدت بالاترین دبی مربوط به سال آبی ۱۳۴۷-۴۸ میلیون مترمکعب می‌باشد و کمترین دبی مربوط به سال آبی ۸۷-۸۸ میلیون مترمکعب بوده است. دبی متوسط سفید رود در دوره آماری معادل ۳۹۴۰ میلیون مترمکعب می‌باشد. در دبی ماهانه بیشترین دبی مربوط به اردیبهشت دی ۱۰۸۵۸ میلیون مترمکعب و کمترین آن مربوط به مهر ماه با ۱۳۱۷ میلیون مترمکعب می‌باشد.

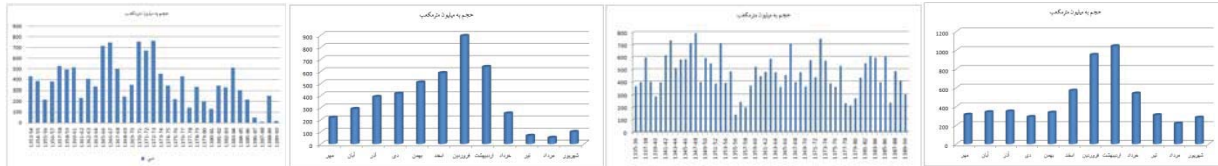
درنمودار شماره ۴ دبی رودخانه تجن از دوره آماری ۱۳۸۹-۹۰ تا ۱۳۴۸-۴۹ استفاده شده است. در دوره آماری مورد نظر بالاترین میزان آبدهی در سال آبی ۱۳۸۳-۸۴ معادل ۸۹۳ میلیون مترمکعب و پائین ترین آبی در سال آبی ۱۳۸۹-۹۰ معادل ۴۲/۸۲۵ میلیون مترمکعب بوده است. دبی متوسط رودخانه تجن در دوره آماری ۳۹۵/۰۴۴ میلیون مترمکعب میباشد. بالاترین دبی ماهانه در فوریدین حداً کثرتی معادل ۸۴۱ میلیون مترمکعب و کمترین دبی رودخانه در تیرماه برابر ۸۱ میلیون مترمکعب می باشد.



نمودار شماره ۳ آبدهی سالانه و ماهانه سفیدرود درایستگاه رودبار
درنمودار شماره ۵ دبی رودخانه هزار از سال آبی ۱۳۲۹-۳۰ تا ۱۳۸۹-۹۰ در دسترس بوده است بطوریکه درنمودار مشخص شده است بالاترین دبی رودخانه هزار مربوط به سال آبی ۱۳۴۷-۴۸ بیش از ۱۷۸۹ میلیون مترمکعب می باشد و کمترین دبی مربوط به سال آبی ۱۳۷۹-۸۰ حدود ۴۶۴ میلیون مترمکعب بوده است. میانگین دبی ۶۰ ساله رودخانه هزار ۹۵۱ میلیون مترمکعب می باشد. کمترین میزان آبدهی ماهانه در ماه های سرمهسال بهمن ماه ۵۱۸ میلیون مترمکعب و پیشترین آن در اردیبهشت و خرداد ۲۰۴۱ میلیون مترمکعب است. درنمودار شماره ۶ جهت بررسی دبی رودخانه با پلرود از استگاه آب سنجی کشتارگاه استفاده شده است. که آمار آن از سال آبی ۱۳۲۸-۲۹ لعایت ۱۳۸۹-۹۰ در دسترس قرار گرفت و مورد تجزیه و تحلیل قرار گرفته است. با توجه به آمار دبی بالاترین میزان آبدهی با پلرود در سال آبی ۱۳۷۰-۷۱ معادل ۸۹۴ میلیون مترمکعب و پائین ترین دبی رودخانه در سال آبی ۱۳۵۷-۵۸ معادل ۱۹۱ میلیون مترمکعب بوده است. میانگین دبی با پلرود ۵۱۴/۸۴ میلیون مترمکعب می باشد. آمار دبی میانگین ماهانه ۶۰ ساله با پلرود نشان می دهد که بالاترین دبی مربوط به اسفندماه با ۷۷۲/۶ میلیون مترمکعب و پائین ترین دبی مربوط به خرداد ۲۱۴/۴ میلیون مترمکعب می باشد.

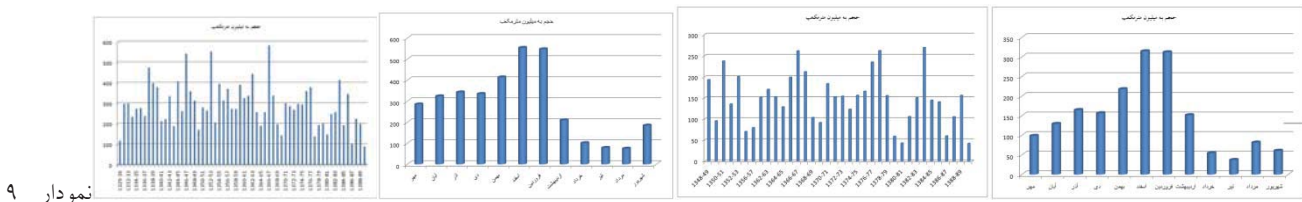


نمودار-۵ میانگین دبی سالانه و ماهانه رودخانه هزار از سالانه و ماهانه دبی رودخانه با پل رود
نمودار شماره ۷ جهت بررسی دبی رودخانه گرگانرود درایستگاه بصیرآباد آمار سال آبی ۱۳۸۹-۹۰ که ۳۵ سال می باشد مورد تجزیه و تحلیل قرار گرفت. کمترین میزان آب دهی مربوط به سال آبی ۱۳۸۷-۸۸ معادل ۷ میلیون مترمکعب بوده است. بالاترین میزان آب دهی گرگانرود در سال آبی ۱۳۷۲-۷۳ معادل ۷۶۲ میلیون مترمکعب بوده است. دبی متوسط رودخانه گرگانرود در دوره آماری ۳۶۸ میلیون مترمکعب می باشد. میانگین ماهانه ۳۵ ساله دبی رودخانه گرگانرود درنمودار ۷ نشان داده شده است و مطابق آن در فوریدین حداً کثرتی معادل ۸۹۴ میلیون مترمکعب و کمترین دبی رودخانه در مردادماه برابر ۵۲ میلیون مترمکعب می باشد. درنمودار شماره ۸ مطابق آمار ۵۵ ساله آب دهی رودخانه پل رود بالاترین آبدهی مربوط به سال آبی ۱۳۴۷-۴۸ معادل ۷۸۹/۲ میلیون مترمکعب و پائین ترین آبدهی مربوط به سال آبی ۱۳۴۹-۵۶ معادل ۱۳۵۵ میلیون مترمکعب می باشد. متوسط آبدهی ۵۵ ساله پلرود ۴۶۲/۴ میلیون مترمکعب می باشد. بالاترین دبی ماهانه پل رود در اردیبهشت معادل ۱۰۴۴/۷ میلیون مترمکعب و پائین ترین در مردادماه معادل ۲۱۹/۸ میلیون مترمکعب می باشد.



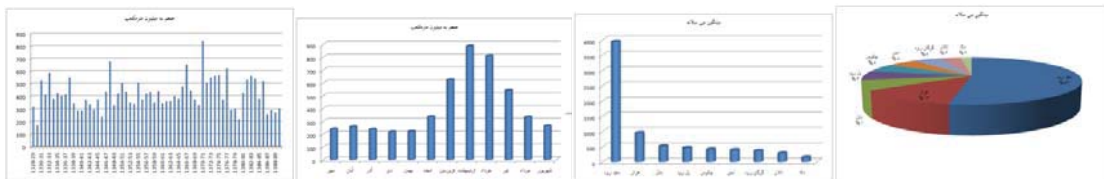
نمودار شماره ۷ آبدهی سالانه و ماهانه رودخانه گرگانرود درایستگاه بصیرآباد
باتوجه به نمودار شماره ۹ میانگین آبدهی رودخانه تالار، بالاترین میزان آبدهی مربوط به سال آبی ۱۳۶۶-۶۷ معادل ۵۸۱/۴ میلیون مترمکعب و پائین ترین میزان آبدهی مربوط به سال آبی ۱۳۸۹-۹۰ معادل ۸۷/۶ میلیون مترمکعب بوده است. و میانگین آبدهی در مدت ۶۰ ساله معادل ۲۸۷/۴ میلیون مترمکعب می باشد. میانگین دبی ماهانه تالار بالاترین میزان آبدهی مربوط به اسفند ماه ۵۵۳/۹ میلیون مترمکعب و پائین ترین میزان آبدهی مربوط به مرداد ۷۴/۶ میلیون مترمکعب می باشد.

با توجه به آمارآبدهی و نمودار شماره ۱۰ رودخانه نکا، بالاترین دبی مربوط به سال آبی ۱۳۸۲-۸۴ معادل ۲۶۸/۹ میلیون مترمکعب و پائین ترین دبی مربوط به سال آبی ۱۳۸۹-۹۰ معادل ۴۳/۱ میلیون مترمکعب می‌باشد. و میانگین آبدهی نکا رود در طول آمار موجودی معادل ۱۴۸/۳ میلیون مترمکعب می‌باشد. از نظر میانگین دبی ماهانه رودخانه نکا بالاترین دبی مربوط به اسفندماه برابر ۳۱۴/۶ میلیون مترمکعب و پائین ترین دبی مربوط به تیرماه برابر ۳۷/۲ میلیون مترمکعب می‌باشد.



نمودار ۱۰ میانگین آبدهی سالانه و ماهانه رودخانه نکا در استگاه کیاکلا

با توجه به نمودار شماره ۱۱ میانگین آبدهی رودخانه چالوس، بالاترین میزان آبدهی در سال آبی ۱۳۷۰-۷۱ معادل ۸۳۹/۶ میلیون مترمکعب و پائین ترین میزان آبدهی مربوط به سال آبی ۱۳۲۹-۳۰ معادل ۱۷۱/۲ میلیون مترمکعب بوده است. و میانگین دبی رودخانه چالوس ۴۱۴/۸ میلیون مترمکعب می‌باشد. از نظر میانگین ماهانه دبی رودخانه چالوس بالاترین میزان آبدهی مربوط به اردیبهشت با ۸۸۶/۸ میلیون مترمکعب می‌باشد و در فصل پائیز و زمستان میزان آب دهی رودخانه چالوس تقریباً دریک سطح قرار گرفته و پائین ترین میزان آبدهی مربوط به دی با ۲۱۸/۸ میلیون مترمکعب می‌باشد.



نمودار شماره ۱۱ میانگین آبدهی رودخانه چالوس در استگاه پل ذغال نمودار شماره ۱۲ میانگین و درصد دبی رودخانه خوزه آبریز دریای خزر در جدول ۲ میانگین دبی رودها، بالاترین و پائین ترین دبی سالانه و ماهانه رودها حوضه آبریز دریای خزر در ایران مشخص شده است.

جدول شماره ۲ میانگین دبی سالانه وبالاترین و پائین ترین دبی سالانه و ماهانه رودهای رودخانه خوزه آبریز دریای خزر در ایران

شماره	نام رودخانه	میانگین دبی سالانه	بالاترین دبی سال آبی	پائین ترین دبی سال آبی	بالاترین دبی ماه	پائین ترین دبی ماه
۱	سفید رود	۳۹۴۰	۱۳۴۷-۴۸	۱۳۸۷-۸۸	اریبهشت	مهر
۲	هراز	۹۵۱	۱۳۴۷-۴۸	۱۳۷۹-۸۰	خرداد	بهمن
۳	بابل	۵۱۴/۸	۱۳۷۰-۷۱	۱۳۵۷-۵۸	اسفند	خرداد
۴	پل رود	۴۶۲.۴	۱۳۴۷-۴۸	۱۳۵۵-۵۶	اردیبهشت	مرداد
۵	چالوس	۴۱۴/۸	۱۳۷۰-۷۱	۱۲۲۹-۳۰	اردیبهشت	دی
۶	تجن	۳۹۵	۱۳۸۳-۸۴	۱۳۸۹-۹۰	فروردین	تیر
۷	گرگان	۳۶۸	۱۳۷۲-۷۳	۱۳۸۷-۸۸	مرداد	فروردین
۸	تالار	۲۸۷/۴	۱۳۶۶-۶۷	۱۳۸۹-۹۰	مرداد	اسفند
۹	نکا	۱۴۸/۳	۱۳۸۳-۸۴	۱۳۸۹-۹۰	تیر	اسفند

از نظر آمار میانگین دبی رودخانه مورده مطالعه، بالاترین آبدهی مربوط به سفیدرود و بعد از آن رودخانه هراز واقع شده است و پائین ترین دبی مربوط به رودخانه نکا می‌باشد. با توجه به نمودار شماره ۱۲ از نظر درصد میزان آبدهی سفید رود با ۵۳٪ بالاترین رودخانه حوضه آبریز دریای خزر در ایران است که وارد دریای خزر می‌شود و رودخانه هراز با ۱۳٪ مقام دوم آبدهی را دارد. می‌باشد و کمترین درصد میزان آبدهی مربوط به رودخانه نکا با ۲٪ می‌باشد.

۴-نتیجه گیری

رودخانه‌ها ای شمالي حدود ۹۰ درصد آب ورودی دریای خزر را تامین می‌کند، اما رودخانه‌های خزرجنوبی ۶۰ درصد بارسوبی دریای خزر را تامین می‌کند. رودخانه‌های ایران ۵/۳ درصد ورودی رودخانه‌های کل خزر را تامین می‌کند و بالاترین آبدهی مربوط به سفید رود می‌باشد. ورود آب رودخانه‌ای به خزر، ورود آب زیرزمینی، بارش بر روی دریا از مهمترین منابع تامین کننده آب دریای خزر می‌باشد. از بین عوامل یاد شده آبدهی و لگا اهمیت اساسی دارد. نوسان آب دریای خزر به آبدهی رودخانه و لگا بستگی دارد، بطوريکه از نظر درصد آبدهی ۷۸٪ آب ورودی دریا خزر از طریق رودخانه‌ها و ۲۱٪ بارش بر روی دریا و ۱٪ مربوط به دبی آب زیرزمینی می‌باشد.

۵-مراجع

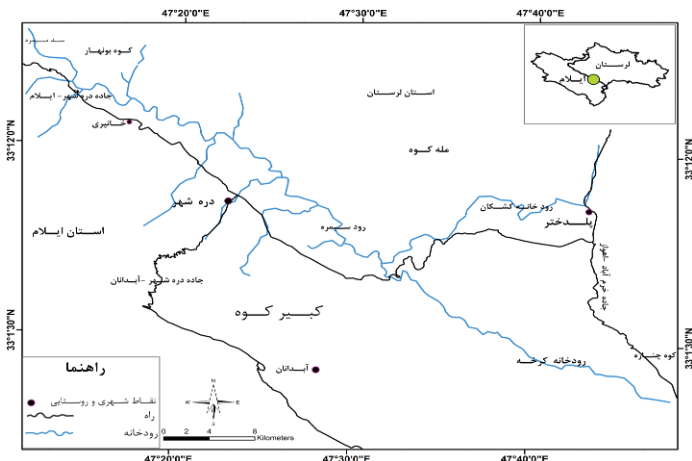
- آمار ایستگاه تراز سنجی باکو در کشور آذربایجان بین سالهای ۱۳۸۷-۱۳۹۰ میلادی، ایستگاه تراز سنجی انزلی و نوشهر

بررسی ژئومورفوسایت‌های منطقه سیمراه با استفاده از روش کمی فاسیلوس

عبدالکریم ویسی^۱, صمد عظیمی راد^۲, آرش کرمی^۳^۱دانشجوی کارشناسی ارشد ژئومورفولوژی دانشگاه تهران, veysi@ut.ac.ir^۲دانشجوی دکتری ژئومورفولوژی, دانشگاه تبریز, samadazimi@yahoo.com^۳دانشجوی کارشناسی ارشد مخاطرات طبیعی, دانشگاه تهران, arashkarami@yahoo.com

مقدمه و منطقه مورد مطالعه

کشور ایران از نظر کانون‌های فرهنگی و تاریخی در زمره ده کشور اول دنیا محسوب شده است اما باید خاطر نشان کرد که ویژگی‌های سرزمینی آن نیز دارای جاذبه‌های فراوانی است به نحوی که نمی‌توان از ژئوتوریسم و اکوتوریسم آن به سادگی گذشت. سازمان یونسکو مهمنترين پتانسیل‌های زمین گردشگری را این‌گونه معرفی می‌کند: غارها، دره‌ها، گسل‌ها، آبشارها، چشمه‌ها، ناودیس‌ها و تاقدیس‌ها، آتش‌فشان‌ها، مواد آذرین بیرونی، استلاگمیت‌های درون غارها، کانیون‌ها... اشکال ساخته دست بشر در ارتباط با عوامل ژئومورفولوژی به عنوان مثال کتیبه‌های شکل-گرفته روی دیواره‌های پرشیب جزء مهمترین منابع زمین گردشگری محسوب می‌شوند (رحیم پور, ۱۳۸۵: ۵۹). ژئومورفوسایت‌ها به صورت لندفرم‌ها و فرآیندهای ژئومورفولوژیکی تعریف می‌شوند که بنابر درک انسان از عوامل تاثیرگذار زمین شناسی، ژئومورفولوژیکی، تاریخی و اجتماعی این مکان‌ها دارای ارزش زیبا شناختی، علمی، فرهنگی - تاریخی و یا اجتماعی - اقتصادی هستند (Panizza M, 2001). مطالعات متعددی در این زمینه در نقاط گوناگون کشور گرفته که از آن جمله می‌توان به مقصودی و همکاران (۱۳۸۹)، نوجوان و همکاران (۱۳۹۱)، یمانی و همکاران (۱۳۹۱) اشاره کرد. منطقه سیمراه در جنوب شرقی استان ایلام و در مرز استان لرستان به مختصات جغرافیایی ۴۷ درجه و ۲۰ دقیقه تا ۴۷ درجه و ۴۰ دقیقه طول جغرافیایی شرقی و ۳۳ درجه و ۰ دقیقه تا ۳۳ درجه و ۰ دقیقه عرض جغرافیایی شمالی است. این منطقه به علت دارا بودن جاذبه‌های ژئومورفولوژیکی، آثار باستانی و تاریخی و تاثیر پذیری مدنیت آن از ویژگی‌های طبیعی منطقه و امکان توسعه ورزش‌های همچون کوهنوردی، صخره نوردی و ورزش‌های آبی در ارتباط با لندفرم‌های ژئومورفیک، توان مناسبی جهت توسعه ژئوتوریسم را دارد. بررسی این توانمندی‌ها در زمینه جذب ژئوتوریسم با توجه به پتانسیل بالای منطقه و نقش توریسم در توسعه اقتصادی آن ضروری به نظر می‌رسد. هدف از این پژوهش بررسی پتانسیل و توانمندی لندفرم‌های منطقه سیمراه برای توسعه ژئومورفوسایت‌ها با استفاده از مدل فاسیلوس می‌باشد.



شکل ۱. موقعیت منطقه سیمراه

مواد و روشها

یکی از روش‌های جدید در سال ۲۰۱۱ برای ژئوپارکی در یونان توسط فاسیلوس و همکاران بکارگرفته شد. فاسیلوس در این مدل با استفاده از نظرات کارشناسان مختلف برای دو منطقه جهت اطمینان از نتایج آن به کار گرفت. با این تفاوت که در این پژوهش از ژئوتوب به جای ژئومورفوسایت استفاده شده است. از انجاییکه منطقه مورد مطالعه این مدل شباهت خاصی با منطقه سیمراه دارد و همچنین نتیجه این مدل در یک منطقه کوهستانی مورد آزمایش قرار گرفته است، از این مدل برای بررسی ژئومورفوسایت‌های این منطقه استفاده گردید.

معیارها و ارزش‌هایی که در این روش تعریف شده‌اند، در شش گروه اصلی جای می‌گیرند که عبارتند از: ارزش‌های علمی؛ ارزش‌های اکولوژیکی و حفاظتی؛ ارزش‌های فرهنگی؛ ارزش‌های زیبایی شناختی؛ ارزش‌های اقتصادی؛ ارزش‌های پتانسیل برای استفاده در کاربری‌های مختلف گردشگری (جدول ۱)

معیارها و ارزش‌های تعیین شده در این مدل برگرفته و اصلاح شده کارها و پژوهش‌های نویسنده‌گان قبلی از جمله: رینارد (2007)، زروس (2007)، پریرا (2007) و فاسیلوس (2005) و غیره می‌باشد که با تغییرات جزئی و ایجاد یک ترکیب نو در سنجش و ارزیابی نهایی، به عنوان روش جدید ارائه گردید. (c) Fassoulas و همکاران (۲۰۱۱). هر کدام از ارزش‌ها چند زیرمعیار دارد که با سیستم امتیازی استاندارد از ۱ تا ۱۰ برای هر گروه مشخص شده است. پس از بررسی و امتیازدهی ژئومورفوسایت‌های منطقه از منظر ارزش‌های ذکر شده، در مرحله بعد باید ارزش نهایی هر ژئومورفوسایت تعیین گردد. این ارزش‌ها در سه قسمت ارزش علمی، ارزش حفاظتی و ارزش گردشگری محاسبه می‌شود.

جدول (۲). نحوه محاسبه ارزش‌های علمی، گردشگری و حفاظتی در روش فاسیلوس

۳- ارزش علمی:
$(\times 0/4 \times \text{ارزش علمی}) + (\times 0/2 \times \text{ارزش فرهنگی}) + (\times 0/2 \times \text{ارزش زیبایی شناسی}) + (\times 0/2 \times \text{ارزش اکولوژیکی})$
۲- ارزش گردشگری:
$(\times 0/4 \times \text{ارزش زیبایی شناسی}) + (\times 0/2 \times \text{ارزش فرهنگی}) + (\times 0/2 \times \text{پتانسیل افزوده}) + (\times 0/2 \times \text{ارزش اقتصادی})$
۳- ارزش حفاظتی:
$\{\text{ارزش علمی} + \text{ضریب خطر اکولوژیکی} + (\text{ضریب یکپارچگی} + \text{ضریب دست نخوردگی}) / 3\}$ ضریب خطر اکولوژیکی: (ضریب تأثیر اکولوژیکی / ضریب وضعیت حفاظت)

یافته‌ها و بحث

براساس روش فاسیلوس و با استفاده از بازدیدهای میدانی انجام شده، اطلاعات لندفرم‌های مورد مطالعه تکمیل گردید. به این منظور پرسشنامه‌های روش فاسیلوس با استفاده از نظرات کارشناسان ژئومورفولوژی، محیط زیست و میراث فرهنگی تکمیل گردید. از آنجایی که ژئومورفوسایت‌های منطقه در برخی ویژگی‌ها از جمله شکل و فرایند شکل گیری مشابه بوده است، از هر نوع تنها یک نمونه انتخاب شده است. از طرفی به گونه‌ای انتخاب شده است که پراکنده‌گی جغرافیایی مناسبی داشته باشد. این کار از طریق مطالعات کتابخانه‌ای و همچنین بررسی‌های میدانی در منطقه صورت گرفت. در نهایت ۵ ژئومورفوسایت در منطقه جهت ارزیابی انتخاب شدند:

لغزش بزرگ سیمره: این لغزش در نتیجه حرکات دامنه‌ای، تحت تأثیر زیربرش رودخانه‌ای، زمین‌ساخت، لیتولوژی و زلزله ایجاد شده است (شکل ۲). سن این زمین لغزش براساس جدیدترین برآورد کریں ۱۴ در حدود 8710 ± 80 برآورده است. سازند اصلی منطقه سازند آهکی آسماری می‌باشد. مطالعات حرکات دامنه‌ای بویژه لغزش‌ها در مباحث مربوط به باستان‌شناسی، رسوبات لغزشی و اکوتوریسم و همچنین به لحاظ علمی برای ژئومورفوولوژیست‌ها و همچنین آشنایی مردم با حرکات دامنه‌ای بسیار مفید می‌باشد.

تنگ چوبینه: این تنگ در محدوده شهرستان دره شهر واقع شده است و در نتیجه دخالت آبهای جاری در پهلوهای تاقدیس کبیرکوه و فرایند انحلال سنگ‌های آهکی ایجاد شده است. در داخل این تنگ کلکسیونی از پدیدهای ژئومورفولوژیکی از جمله دره‌های پهلوی تاقدیسی، چشمه‌های آهکی، پرتگاه فرسایشی، رسوبات رودخانه‌ای و ریزش و سقوط سنگ‌ها را شاهد هستیم. علاوه بر جنبه‌های گردشگری و علمی این نوع تنگ‌ها به عنوان مناطق استراتژیک دفاعی و همچنین در حمل و نقل و شکل‌گیری مدبی نقش بسزایی دارند.

پادگانه‌های دریاچه‌ای: این پادگانه‌ها در نتیجه تشکیل دریاچه سدی لغزشی و توالی برش توده لغزشی توسط رودخانه ایجاد شده است. سن این پادگانه‌ها به هولوسن می‌رسد و از آن‌ها در زمینه‌های مطالعاتی علمی گوناگونی چون فرسایش، رسوب‌شناسی، اقلیم دیرینه، تکتونیک، اکولوژیک، اکوتوریسم و ... می‌توانند بعنوان جاذبه معرفی شوند.

سراب در شهر: این سراب در جاده بین شهری دره شهر به آبدانان واقع شده است. به لحظه لیتولوژیکی سازندهای آسماری، پابده و گوربی را در بر می‌گیرد. این سراب در نتیجه فرسایش اتحالی در سازندهای آهکی ایجاد شده است. با ایجاد فضای سبز در محدوده آن به مکان مناسبی برای گردشگری و جذب توریسم تبدیل شده است.



شکل ۲.۳. ژئومورفوسایت‌های منطقه

جدول (۳). ارزیابی ژئومورفوسایت‌های منطقه سیمره

تغییرات قبل قبول	ارزش استفاده		ارزش اقتصادی		ارزش زیبایی	ارزش فرهنگی		ارزش آذوقه ای	ارزش علمی		ژئوسایت					
	دسترسی	درج مقامات	آسیب‌ها	شدت استفاده		محافظت اداری	سطح جذب‌نیابت	تعداد گردشگران	اختلاف پیش‌انداز	تعداد نقاط دید	آداب و رسوه و رفتار	وضعیت حفاظات	ثبات	نگاهداری	تأثیر زمانی	شناخت
۴	۰	۰	۰	۰/۷	۰	۰	۰/۷	۰/۱	۰/۲	۰/۲	۰	۰	۰	۰	۰/۷	سیمراه
۴	۰	۰	۰	۰/۷	۰	۰	۰/۷	۰/۲	۰/۲	۰/۲	۰	۰	۰	۰	۰/۷	در پایه‌ای پادگاه
۴	۰	۰	۰	۰/۷	۰	۰	۰/۷	۰/۱	۰/۲	۰/۲	۰	۰	۰	۰	۰/۷	تازه پرپیشه
۴	۰	۰	۰	۰/۷	۰	۰	۰/۷	۰/۲	۰/۲	۰/۲	۰	۰	۰	۰	۰/۷	سراب در شهر

پس از ارزیابی ژئوسایت‌ها در نهایت ارزش‌های مختلف باهم ترکیب شدند. برای این منظور ابتدا ارزش‌های علمی، حفاظتی و گردشگری هریک از ژئومورفوسایت تعیین شد و در نهایت با ترکیب این ۳ ارزش، ارزش نهایی هر ژئومورفوسایت مشخص گردید (جدول ۲).

جدول (۲). ارزش نهایی ژئومورفوسایت‌های منطقه سیمره

امتیاز نهایی	ارزش گردشگری	ارزش حفاظتی	ارزش علمی	نام	رتبه
۴۴/۳	۱۸	۹/۸	۱۶/۵	سراب در شهر	۱

۴۱	۱۷	۸/۶	۱۵/۴	لغزش سیمراه	۲
۳۹	۱۶/۵	۸/۳	۱۴/۲	تنگ چوبینه	۳
۳۸/۴	۱۶/۵	۸/۳	۱۳/۶	پادگانه دریاچه‌ای	۴

همانطور که از نتایج بر می‌آید ژئومورفوسایت «سراب در شهر» در هر سه شاخص علمی، حفاظتی و گردشگری از شرایط مطلوبی برخوردار است و به عنوان ژئومورفوسایت مستعد برای توسعه گردشگری انتخاب شد. در بخش ارزش‌های علمی، ژئومورفوسایت‌هایی یاد شده از شرایط مطلوب‌تری برخوردار هستند. ویژگی مهم سایت سراب در شهر شرایط مطلوب از نظر نمایانگر بودن و نمایشگر فرایندهای زمین ساختی و ژئومورفولوژیکی می‌باشد. البته باید توجه داشت که مثلاً در ارزش‌دهی علمی هر سایت، تنها معیارهای علمی ذکر شده در مدل مطرح نیستند بلکه در محاسبه ارزش نهایی شاخص علمی، در کنار معیارهای علمی که بیشترین ارزش را به خود اختصاص می‌دهند، سایر ارزش‌های حفاظتی و گردشگری نیز با درجه کمتر بر اولویت‌بندی ژئومورفوسایت‌ها اثرگذار می‌باشند. در بخش علمی، ژئومورفوسایت‌های تنگ چوبینه و پادگانه‌های دریاچه‌ای از کمترین مطلوبیت برخوردارند.

۴- نتیجه‌گیری

با شناسایی و تبلیغات کافی در زمینه ژئومورفوسایت‌ها می‌توان برنامه ریزی جامعی در زمینه جلب ژئوتوریسم انجام داد. مدل فاسیلوس به دلیل در نظر گرفتن جنبه‌های مختلف یک ژئومورفوسایت و همچنین زیرساخت‌های موجود در اطراف این ژئومورفوسایت‌ها کارایی مطلوبی در بررسی توافقنامه ژئومورفوسایت‌های مناطق کوهستانی در زمینه جلب ژئوتوریسم را دارا می‌باشد. نتایج پژوهش از پتانسیل نسبتاً بالای منطقه سیمراه به لحاظ ژئوتوریسمی حکایت دارد. ژئومورفوسایت‌های منطقه از نظر حفاظتی در شرایط مناسبی به سر نمی‌برند و ضرورت دارد که برنامه‌ریزی مناسب برای توسعه ژئوتوریسم برای هر کدام از هر ژئومورفوسایت‌ها صورت گیرد. بر پایه نتایج حاصل از این تحقیق، پیشنهاد می‌شود که برنامه‌ریزان و مسئولان امر، ضمن استقرار خدمات و تسهیلات اکوتوریسم در این منطقه، تابولهایی را برای مسیر دسترسی به ژئومورفوسایت‌ها نصب کنند و سازمان‌های محیط زیست و میراث فرهنگی در زمینه توسعه ژئوتوریسم در منطقه هماهنگی لازم را با هم داشته باشند.

مراجع

- ۱) رحیم پور، علی، (۱۳۸۵)، زمین‌گردشگری، نشریه مسافران، شماره ۳۳، ص ۵۸-۶۱.
- ۲) مقصودی، مهران. نکویی صدری، بهرام، (۱۳۸۷)، ژئوتوریسم، دریچه‌ای نو به سوی توسعه‌ی صنعت گردشگری ایران، دوره‌ی ۱۶، ش ۶۴، پژوهش‌های جغرافیایی.
- ۳) نوجوان، محمد رضا، میرحسینی، ابوالقاسم، رامشت، محمد حسین، (۱۳۸۸)، ژئوتوبهای یزد و جاذبه‌های آن، جغرافیا و توسعه، شماره ۱۳.
- ۴) یمانی، مجتبی، عظیمی راد، صمد، باقری، سجاد، (۱۳۹۱)، بررسی قابلیت‌های ژئوتوریسمی ژئومورفوسایت‌های منطقه سیمراه با استفاده از روش پرالونگ، جغرافیا و پایداری محیط، شماره ۲.
- 5) Fassoulas, C & Mouriki, D & Dimitriou-Nikolakis, P & Iliopoulos, G (2011); Quantitative Assessment of Geotopes as an Effective Tool for Geoheritage Management; geoheritage, V 4, Issue 3, pp 177-193.
- 6) Panizza M. (2001), Geomorphosites: concepts, methods and examples of geomorphological survey. *Chinese Science Bulletin*, 46, 4-6.

ارزیابی و حفاظت از ژئومورفوسایت‌های شهرستان کوهدهشت (استان لرستان)

^۱ صدیقه محبوبی، ^۲ ابوذر کوشکی^۱ دانشجوی دکترا زئومورفولوژی دانشگاه تهران، sedighehmahboobi@yahoo.com^۲ کارشناسی ارشد، آبخیزداری دماوند، kooshki2000@yahoo.com

مقدمه و منطقه مورد مطالعه

ژئوتوریسم به عنوان شکلی از توریسم تعریف شده که باعث حفظ و ارتقاء ویژگی های جغرافیایی یک منطقه از جمله محیط، فرهنگ، زیبایی ها، میراث و حتی بهبود وضعیت اقتصادی ساکنان آن می گردد(نوی و همکاران، ۱۳۹۲). بطور کلی ژئوتوریسم میتوانی بر پنج اصل کلیدی است که عبارتند از : اتکا بر جاذبه های زمین شناسی، اصل پایداری، آموزش محوری، سودمند برای اقتصاد محلی و رضایت گردشگران (Dowling, 2011). ایران از جمله کشورهای دارای جاذبه های طبیعی خاص و بی نظیر است که می تواند در کنار پیشینه تاریخی و فرهنگی خود از آنها نیز برای جذب گردشگر بهره گیرد.(قربانی و همکاران، ۱۳۸۹). ساختار گردشگری یک مکان در برگیرنده عواملی است که می تواند انگیزه بیشتری را برای تقاضای گردشگری آن مکان فراهم آورد(Law, 2002) و سامان دهی گردشگری در یک مکان، با برنامه ریزی برای شناخت رفتار گردشگران در آنجا آغاز می شود(Bansal&Others, 2004). امروزه صنعت توریسم بعد از نفت و خودروسازی، سومین صنعت بزرگ جهان محسوب می شود و بدون شک سودمندترین تجارت در قرن اخیر خواهد بود(fennel, 2003).

برای حفاظت از ژئومورفوسایت ها در یک منطقه، ابتدا باید ژئومورفوسایت های منطقه شناسایی و میزان قابلیت های گردشگری آنها مورد ارزیابی قرار گیرد تا میزان اهمیت آن ژئومورفوسایت ها برای جذب توریسم مشخص و یا دلایل عدم جذب گردشگر در آن سایت ها روشن شود. و در مرحله بعد به بحث حفاظت از آنها پرداخته شود. در این مقاله بر آن شدیدم تا به بررسی ۱۰ ژئومورفوسایت شهرستان کوهدهشت استان لرستان پرداخته و آنها را مورد ارزیابی قرار دهیم و سپس به راهبردهای حفاظتی آن رهنمون شویم. شهرستان کوهدهشت که در غرب استان لرستان و در فاصله ۹۴ کیلومتری خرم‌آباد قرار گرفته است. این منطقه با داشتن چشممه ها، غارها، تنگه های زیبا ... یکی از شهرهای زیبای ایران محسوب می شود (تصویر ۱ و ۲). از مهم ترین و معروف ترین جاذبه های طبیعی شهرستان کوهدهشت: تنگه کارستی شیرز در ۴۵ کیلومتری شمال غرب کوهدهشت، غار و منطقه میرملاس در فاصله حدود ۱۰ کیلومتری شهر کوهدهشت، منطقه چنگری در ۶ کیلومتری شمال دشت کوهدهشت، پل کشکان در ۳۵ کیلومتری شرق کوهدهشت، منطقه شاهزاده محمد در ۷۰ کیلومتری شمال شرق، همیان در ۵۰ کیلومتری شمال کوهدهشت، سرخین در ۱۵ کیلومتری و سرکن در ۵۰ کیلومتری کوهدهشت، منطقه قره‌علیوند و غار بیتخانه در ۱۸ کیلومتری جنوب خاوری شهر کوهدهشت قرار دارند.



تصویر ۱ و ۲: نمونه ای از مناطق بکر و زیبای شهرستان کوهدهشت(تنگه شیرز) و همچنین موقعیت سایت های مورد نظر

مواد و روشها

در این پژوهش پس از مطالعه و شناسایی ویژگی های ژئومورفولوژیک سایت ها، با استفاده از مطالعات کتابخانه ای و میدانی، جهت ارزیابی ژئومورفوسایت های منطقه مورد مطالعه از روش ترکیبی پری یرا و رینارد (۲۰۰۷) استفاده شد. روش حاضر به بررسی ژئومورفوسایت ها از ابعاد گوناگونی می پردازد که شامل؛ ابعاد حفاظت- مدیریت، علمی و مکمل می شوند. این روش در دو بعد کلی، توان یک ژئومورفوسایت را جهت توسعه گردشگری ارزیابی می کند. ارزش ژئومورفولوژیکی از مجموع عیار علمی و مکمل به دست می آید. در بخش ارزش مکمل توان فرهنگی،

اکولوژیکی، زیبایی شناختی و اقتصادی - اجتماعی بررسی می شود و در بخش ارزش علمی عیار کمیابی، شاخص بودن، ارزش جغرافیای دیرینه و قابلیت آموزشی بودن سایت مورد بررسی قرار می گیرد. مجموع امتیاز های حاصله در این بخش ها در بالاترین مقدار، ۲۰ می باشد.

جمع این دو ارزش، قابلیت یک رئومورفوسایت را در توسعه گردشگری نشان می دهد. در مجموع هر چه عدد حاصله به ۲۰ نزدیک تر باشد
نشانگر پتانسیل های بالای آن در برنامه ریزی در راستای گردشگری دارد. (جداول ۱-۶)

جدول ۱: حداکثر امتیاز عیارهای علمی و حفاظت و مدیریت

حداکثر امتیاز	حداکثر امتیاز	ارزش حفاظت و مدیریت (حداکثر امتیاز ۵)	حداکثر امتیاز	ارزش علمی زنومورفوسایت (بالاترین امتیاز ۵)
1/5	۱/۵	میزان دست نخودگی	۱/۵	کمیابی
2/5	۱	آسیب پذیری در اثر استفاده	۱	قابلیت آموزشی
1/5	۱/۵	تجهیزات و سرویس های پیشگاهی	۱/۵	شاخص بودن (نماینده بودن)
		پیشگاهی	۱/۵	ارزش جغرافیایی دیرینه

یافته ها و بحث

جدول ۲: ملاک های استفاده شده برای ارزشیابی علمی و حفاظت - مدیریت

ارزش	ملک
حفاظت و مدیریت	میزان دست نخودگی سایت در اثر حضور انسان
	آسیب پذیری در اثر استفاده
	تجهیزات و سرویس های پیشگاهی و حفاظتی - مدیریتی
شاخص بودن (نماینده بودن)	این نمونه یا سایت پایدید مرغوب اصلی و شاخص همه سایتهاش شیوه خود پاشد.
کمیابی	ملاک وجود لندرمتر های استثنای در منطقه است.
چگرانی دیرینه	اهمیت سایت از نظر تاریخ زمین شناسی یا اقلیعی
قابلیت آموزشی	اینکه سایت از نظر علمی قابلیت آموزش دادن به گردشگران را داشته باشد

جدول شماره ۴: ارزیابی عیار علمی و حفاظت - مدیریت رئومورفوسایت های شهرستان کوهدهشت

جمع کل	ارزش علمی					حفظات و مدیریت					زنومورفوسایت ها	
	قابلیت آموزشی	ارزش جغرافیای دیرینه	ارزش کمیابی	شاخص بودن (نماینده بودن)	تجهیزات و سرویس های پیشگاهی	آسیب پذیری	میزان دست نخودگی	نام سایت	ردیف			
9/75	1	1/5	1/5	1/5	1	2	1/25	تنگله شیرز	1			
6/75	0/5	1	1	1	0/5	1/5	1/25	مناطقه چندگری	2			
7	0/75	1/25	1	1	0/25	1/5	1/25	غار و منطقه کلامانکره	3			
9/25	1	1/5	1/25	1/25	0/5	2/5	1/25	غار و دشت میرملاس	4			
8/75	1	1/5	1/25	1/25	0/25	2	1/5	مناطقه همیان	5			
6/25	0/5	1	0/75	1	0/25	1/5	1/25	مناطقه سر کن	6			
6/5	0/5	1	0/75	1	0/25	2	1	کوه سرسرخین	7			
6/5	0/5	0/5	0/5	0/75	1/25	2	1	مناطقه شاهزاده محمد	8			
7	0/75	0/75	1	1	0/5	2	1	پل کشکان	9			
6/25	0/75	1/25	1	1	0/5	1/5	1/25	قرعلیبوند و غار یختانه	10			

جدول شماره ۴ ارزیابی عیار علمی و حفاظت - مدیریت رُومورفوسایت های شهرستان کوهدهشت

جمع کل	ارزش علمی				حفاظت و مدیریت				رُومورفوسایت ها	
	قابلیت آموزشی	ارزش جغرافیای دیرینه	کمیابی	شاخص بودن (نماینده بودن)	تجهیزات و سرویس‌های پشتیبانی	آسیب پذیری	هزاران دست نخوردگی	نام سایت	ردیف	
9/75	1	1/5	1/5	1/5	1	2	1/25	تنگه شیرز	1	
6/75	0/5	1	1	1	0/5	1/5	1/25	منطقه چنگویی	2	
7	0/75	1/25	1	1	0/25	1/5	1/25	غار و منطقه کلمانکره	3	
9/25	1	1/5	1/25	1/25	0/5	2/5	1/25	غار و دشت میرملاس	4	
8/75	1	1/5	1/25	1/25	0/25	2	1/5	منطقه همیان	5	
6/25	0/5	1	0/75	1	0/25	1/5	1/25	منطقه سر کن	6	
6/5	0/5	1	0/75	1	0/25	2	1	کوه سرسرخین	7	
6/5	0/5	0/5	0/5	0/75	1/25	2	1	منطقه شاهزاده محمد	8	
7	0/75	0/75	1	1	0/5	2	1	پل کشکان	9	
6/25	0/75	1/25	1	1	0/5	1/5	1/25	قرعلیوند و غار پتخانه	10	

جدول شماره ۵ ارزیابی عیار مکمل رُومورفوسایت های شهرستان کوهدهشت

جمع کل	ارزش اقتصادی - اجتماعی			ارزش قره‌نهنگی			ارزش زیمانشناختی	ارزش اکولوژیکی	رُومورفوسایت	
	راهنمایی	محصولات محلی	به ترتیب مراکز جمعیتی	تاریخی	متوجه	نام سایت			ردیف	
6/75	1	0/5	0/5	1	0/25	2	1/5	تنگه شیرز	1	
5/25	0/5	0/5	0/5	1	0/25	1/25	منطقه چنگویی	2		
4/25	0/5	0/5	0/5	1	0/25	1	0/5	غار و منطقه کلمانکره	3	
6/75	1/25	0/5	1	1	0/25	1/5	1/25	غار و دشت میرملاس	4	
5/5	0/75	0/5	0/5	1	0/25	1/5	1	منطقه همیان	5	
4	0/5	0/5	0/5	0/5	0/25	1	0/75	منطقه سر کن	6	
4/5	0/5	0/5	0/5	0/75	0/25	1/25	0/75	کوه سرسرخین	7	
6/75	1/25	1	1	0/5	1	1/25	0/75	منطقه شاهزاده محمد	8	
5/75	1/5	0/5	0/5	1	0/25	1/25	0/75	پل کشکان	9	
6	1	0/75	0/75	0/75	0/25	1/5	1	قرعلیوند و غار پتخانه	10	

جدول شماره ۶ ارزیابی نهایی توانستیجی رُومورفوسایت های مورد بررسی

رتبه پندتی نهایی	ارزش نهایی	عیار مکمل استوار ۹	عیار مکمل استوار ۱۰	عیار علمی و عیار حفاظت و مدیریت استیار از ۱۱	نام سایت
1	16.5	6/75	9/75	تنگه شیرز	1
7	12	5/25	6/75	منطقه چنگویی	2
8	11/25	4/25	7	غار و منطقه کلمانکره	3
2	16	6/75	9/25	غار و دشت میرملاس	4
3	14/25	5/5	8/75	منطقه همیان	5
10	10/25	4	6/25	منطقه سر کن	6
9	11	4.5	6/5	کوه سرسرخین	7
4	13/25	6/75	6/5	منطقه شاهزاده محمد	8
5	12/75	5/75	7	پل کشکان	9
6	12/25	6	6/25	قرعلیوند و غار پتخانه	10

همانطور که در ارزیابی نهایی در جدول شماره مشاهده می‌شود، منطقه تنگه شیرز با کسب نمره ۱۶/۵ از ۲۰ به عنوان شاخص تربین سایت برای جذب گردشگر مطرح می‌شود که آن هم به دلیل کمیابی و نایابی منطقه به خاطر وجود اکثر اشکال کارستی و ارزش زیبایی شناختی بالای آن و همچنین وجود نمونه‌های گیاهی و جانوری خاص اکولوژیکی است به طوری که از نظر باستان شناسان، اولین گونه زیتون ایران مربوط به منطقه شیرز بوده است و از این منطقه به نقاط دیگر ایران منتقل شده است. در رتبه دوم هم غار میرملاس قرار دارد که باز هم به خاطر ارزش زیبایی شناختی منطقه و ارزش جغرافیای دیرینه و همچنین نزدیک تر بودن به مراکز جمعیتی برای جذب بیشتر گردشگر، حائز رتبه ۱۶ از ۲۰ شده است.

در رتبه سوم هم منطقه همیان قرار دارد که آن هم به خاطر ارزش زیبایی شناختی و جغرافیای دیرینه آن است. در رتبه آخر هم منطقه سرکن با کسب نمره ۱۰/۲۵ از ۲۰ قرار دارد که با اینکه از ارزش زیبا شناختی تقریباً خوبی بهره مند است ولی به دلیل نداشتن امکانات حفاظتی و مدیریتی و همچنین وجود راه نامناسب، در این رتبه قرار گرفته است.

از دید گردشگری، هر چه سایت دارای ویژگی هایی چون منحصر به فرد بودن باشد در صورت توزیع نامطلوب در زمینه‌ی سرمایه‌گذاری و جذب گردشگری، در آینده خطرات ناشی از جریان های گردشگری تهدیدی برای آن محسوب می‌شود. رونق گردشگری در هر مکان جغرافیایی در کنار پیامدهای مثبت و منفی اقتصادی، اجتماعی، اثرات زیست محیطی به همراه دارد که در صورت ادامه یافتن می‌تواند خسارت‌های جبران ناپذیری را به بار آورد، از این رو برنامه ریزی جهت (عزمی و دیگران، ۱۳۹۰) توسعه پایدار گردشگری با استفاده از نظارت و مدیریت صحیح منابع گردشگری امری لازم و ضروری به نظر می‌رسد.

نتیجه گیری

بحث اصلی، در مقاله‌ی حاضر ارزیابی ژئومورفوسایت‌های شهرستان کوهدهشت جهت توانمندی‌های آنها در توسعه گردشگری است و همانطور که در جدول ارزیابی نهایی آمده است، تنگه شیرز با بالا بودن در تمام عیار‌های حاضر به عنوان سایت نمونه گردشگری در منطقه معرفی می‌گردد. اما به طور کلی در مطالعات گردشگری، می‌بایست، توسعه پایدار در هسته مرکزی این گونه مطالعات قرار گیرد تا بهره برداری‌های نادرست از این جاذبه‌ها، مشکلات آینده در زمینه‌ی برنامه ریزی محیطی را افزایش ندهد. امید است تحقیقات آینده و پژوهشگران آنها، بر این موضوع که، ارزیابی پایان کار نیست و پایداری گردشگری، مهم ترین مسئله و دغدغه‌ی فکری صاحب نظران این حوزه علمی است توجه ویژه‌ای داشته باشند. (مقصودی و همکاران، ۱۳۹۱)

مراجع

- ۱- قربانی، رسول، آستین چیده، محمد، مهری، محمد، ژئوتوریسم: بهره گیری از جاذبه‌های ژئومورفولوژیکی و زمین شناختی دره‌های کوههستانی (نمونه مورده‌ی دره سیمین در جنوب همدان)، برنامه ریزی و آمایش فضا دوره چهاردهم، شماره ۴، صص ۲۲-۱۳۸۹.
- ۲- عزمی، آثیه‌ایمانی، بهرام، خانی، فضیله، اثرات فعالیت‌های گردشگری بر محیط زیست (مطالعه مورده‌ی روزتای بیله درق)، نگرش‌های نو در چهارگاهی انسانی، سال سوم، شماره سوم، شماره ۱، صص، ۱۵-۲۲. ۱۳۹۰.
- ۳- مقصودی، مهران، شمسی پور، علی اکبر، نوربخش، فاطمه، پتانسیل سنجی مناطق پهنه‌ی توسعه ژئومورفو توریسم (مطالعه مورده‌ی منطقه‌ی منجاب در جنوب دریاچه‌ی نمک)، پژوهش‌های جغرافیای طبیعی، شماره ۷۷، صص ۱۹-۱. ۱۳۹۰.
- ۴- مقصودی، مهران، علیزاده، محمد رحیمی هرآبادی، سعید، هدائی آرانی، مجتبی، ارزیابی قابلیت ژئومورفوسایت‌های پارک ملی کویر، فصلنامه مطالعات گردشگری، شماره ۱۸، ۱۳۹۱.
- ۵- نوری، حامد، مرادی، حسین، خوش نظر، مامنده، راهبردهای مناسب برای توسعه ژئوتوریسم غار آبی سهولان، مطالعات و پژوهش‌های شهری و منطقه‌ای، سال پنجم، شماره هفدهم، ۱۳۹۲.

- Bansal, P.D. j., Arnold, M., Elberg, A. j., Kalda, A., and B.P ., Van Milligen 2004. "Melt Extraction and Accumulation from Partially Molten Rocks Lithos", No. 78
- Dowling, R. K. , 2011," Geotourism's global growth", Geoheritage, 3(1), p.1-13.
- Fennell, D. A., 2009," Ecotourism: An introduction", Routledge Publication
- Pereira,P., Pereira,D., Caetano,M., Braga,A., 2007," Geomorphosite assessment in Montesinho Natural Park (Portugal)", Geographica Helvetica Jg. 62 2007/Heft 3, P.159-168.
- Reynard, E., Fontana, G., Kozlik, L., Scapozza, C., 2007," A method for assessing «scientific» and «additional values» of geomorphosites", Geographica Helvetica Jg. 62 2007/Heft 3.
-